



**F4110**  
**Kvantová fyzika atomárních soustav**  
**letní semestr 2009 - 2010**

**XIII.**  
**Chladné atomy a BEC**

**KOTLÁŘSKÁ 19. KVĚTNA 2010**

# Fyzika nízkých teplot (připomínka)

# Naše hlavní téma

K	Teplotní rekordy	Objevy	Teorie
	1877 <i>Pictet</i> kapalný kyslík?		
77	1895 <i>von Linde</i> kap. vzduch		
22	1898 <i>Dewar</i> kapalný vodík		
	1905 <i>von Linde</i> kap. dusík		
4,2	1908 <i>Kamerlingh-Onnes</i> kapalné helium	1911 <i>Kamerlingh-Onnes</i> supravodivost kovů	
0,3	odsávané helium	odsávané helium	1924 <i>Einstein</i> Bose- Einsteinova kondensace
mK	1933 paramagn. demagnet. 1951 <i>H. London</i> rozpouštěcí refrigerátor	1937 <i>Kapica</i> supratekutost Helia-4	1939 <i>Landau</i> teorie supratekutosti
μK	1956 <i>Kurti</i> NDR (jaderná ...) 1985 <i>Hänsch, Schawlow</i> laserové chlazení (princip)	1972 <i>Osheroff</i> supratekutost Helia-3	1947 <i>Bogoljubov</i> teorie supratekutosti
nK		1986 <i>Müller a Bednorz</i> vysokoteplot. supravodivost	1956 <i>BCS</i> * teorie supravodivosti
pK		1995 <i>Wieman, ... Ketterle</i> BEC v atomových parách	1975 <i>Leggett</i> teorie supratekutosti Helia-3

*\*Bardeen, Cooper a Schrieffer*

# *Nobelisté II.*



## **The Nobel Prize in Physics 2001**

"for the achievement of Bose-Einstein condensation in dilute gases of alkali atoms, and for early fundamental studies of the properties of the condensates"



**Eric A. Cornell**

1/3 of the prize

USA

University of  
Colorado, JILA  
Boulder, CO, USA

b. 1961



**Wolfgang  
Ketterle**

1/3 of the prize

Federal Republic of  
Germany

Massachusetts  
Institute of  
Technology (MIT)  
Cambridge, MA, USA

b. 1957



**Carl E. Wieman**

1/3 of the prize

USA

University of  
Colorado, JILA  
Boulder, CO, USA

b. 1951

Bosony a Fermiony

## *Bosony a Fermiony v kvantové teorii pole*

nezávislý kvantový postulát

Identické částice jsou nerozlišitelné

## *Bosony a Fermiony v kvantce*

nezávislý kvantový postulát

Identické částice jsou **nerozlišitelné**



## *Bosony a Fermiony v kvantové teorii pole*

nezávislý kvantový postulát

Identické částice jsou nerozlišitelné

nedají se očíslovat

## *Bosony a Fermiony v kvantce*

nezávislý kvantový postulát

Identické částice jsou nerozlišitelné

nedají se očíslovat

Permutace částic nevede ke vzniku nového stavu

## *Bosony a Fermiony v křostce*

nezávislý kvantový postulát

Identické částice jsou nerozlišitelné

Permutace částic nevede ke vzniku nového stavu

Dvě částice

$$\Psi(x_1, x_2) \rightarrow \Psi(x_2, x_1) = \lambda \Psi(x_1, x_2)$$

## *Bosony a Fermiony v křostce*

nezávislý kvantový postulát

Identické částice jsou nerozlišitelné

Permutace částic nevede ke vzniku nového stavu

Dvě částice

$$\Psi(x_1, x_2) \rightarrow \Psi(x_2, x_1) = \lambda \Psi(x_1, x_2) = \lambda^2 \Psi(x_2, x_1)$$

## *Bosony a Fermiony v křostce*

nezávislý kvantový postulát

Identické částice jsou nerozlišitelné

Permutace částic nevede ke vzniku nového stavu

Dvě částice

$$\Psi(x_1, x_2) \rightarrow \Psi(x_2, x_1) = \lambda \Psi(x_1, x_2) = \lambda^2 \Psi(x_2, x_1)$$

$$\lambda^2 = 1$$

# Bosony a Fermiony v křostce

nezávislý kvantový postulát

Identické částice jsou nerozlišitelné

Permutace částic nevede ke vzniku nového stavu

Dvě částice

$$\Psi(x_1, x_2) \rightarrow \Psi(x_2, x_1) = \lambda \Psi(x_1, x_2) = \lambda^2 \Psi(x_2, x_1)$$

$$\lambda^2 = 1$$

$\lambda = -1$	$\lambda = +1$
<b>fermiony</b>	<b>bosony</b>
antisymmetrická $\Psi$	symmetrická $\Psi$

# Bosony a Fermiony v křostce

nezávislý kvantový postulát

Identické částice jsou nerozlišitelné

Permutace částic nevede ke vzniku nového stavu

Dvě částice

$$\Psi(x_1, x_2) \rightarrow \Psi(x_2, x_1) = \lambda \Psi(x_1, x_2) = \lambda^2 \Psi(x_2, x_1)$$

$$\lambda^2 = 1$$

$\lambda = -1$	$\lambda = +1$
<b>fermiony</b>	<b>bosony</b>
antisymmetrická $\Psi$	symmetrická $\Psi$
polo-číselný spin	celočíselný spin

# Bosony a Fermiony v kvantce

nezávislý kvantový postulát

Identické částice jsou nerozlišitelné

Permutace částic nevede ke vzniku nového stavu

Dvě částice

$$\Psi(x_1, x_2) \rightarrow \Psi(x_2, x_1) = \lambda \Psi(x_1, x_2) = \lambda^2 \Psi(x_2, x_1)$$

$$\lambda^2 = 1$$

$\lambda = -1$	$\lambda = +1$
<b>fermiony</b>	<b>bosony</b>
antisymmetrická $\Psi$	symmetrická $\Psi$
polo-číselný spin	celočíselný spin

přichází  
odnikud  
"empirický  
fakt"



# Bosony a Fermiony v kvantce

nezávislý kvantový postulát

Identické částice jsou nerozlišitelné

Permutace částic nevede ke vzniku nového stavu

Dvě částice

$$\Psi(x_1, x_2) \rightarrow \Psi(x_2, x_1) = \lambda \Psi(x_1, x_2) = \lambda^2 \Psi(x_2, x_1)$$

$$\lambda^2 = 1$$

$\lambda = -1$	$\lambda = +1$
<b>fermiony</b>	<b>bosony</b>
antisymmetrická $\Psi$	symmetrická $\Psi$
polo-číselný spin	celočíslný spin
elektrony	fotony

přichází  
odnikud  
"empirický  
fakt"

# Bosony a Fermiony v kvantce

nezávislý kvantový postulát

Identické částice jsou nerozlišitelné

Permutace částic nevede ke vzniku nového stavu

Dvě částice

$$\Psi(x_1, x_2) \rightarrow \Psi(x_2, x_1) = \lambda \Psi(x_1, x_2) = \lambda^2 \Psi(x_2, x_1)$$

$$\lambda^2 = 1$$

$\lambda = -1$	$\lambda = +1$
<b>fermiony</b>	<b>bosony</b>
antisymmetrická $\Psi$	symmetrická $\Psi$
polo-číselný spin	celočíslný spin
elektrony	fotony

přichází  
odnikud  
"empirický  
fakt"

*celkem dobře znáte*

*ted' pro nás důležité*

# Mnohačasticové stavy pro Bosony a Fermiony

## *Representace obsazovacích čísel*

Nezávislé částice (... **neinteragující**)

Stav několika částic úplně popíšeme tak, že určíme

**kolik částic se nachází v různých jednočásticových stavech**

*Podrobnější popis neexistuje, protože částice nejsou rozlišitelné*

## Representace obsazovacích čísel

Nezávislé částice (... **neinteragující**)

Stav několika částic úplně popíšeme tak, že určíme

**kolik částic se nachází v různých jednočásticových stavech**

*Podrobnější popis neexistuje, protože částice nejsou rozlišitelné*

FORMÁLNÍ PROVEDENÍ → → → →

## Representace obsazovacích čísel

Nezávislé částice (... **neinteragující**)

base jedno-částicových stavů (  $\alpha$  úplný soubor kvantových čísel)

$$\{|\alpha\rangle\} \quad \langle\alpha|\beta\rangle = \delta_{\alpha\beta} \quad |\psi\rangle = \sum |\alpha\rangle\langle\alpha|\psi\rangle$$

$$\langle x|\alpha\rangle = \varphi_{\alpha}(x)$$

# Representace obsazovacích čísel

Nezávislé částice (... **neinteragující**)

base jedno-částicových stavů (  $\alpha$  úplný soubor kvantových čísel)

$$\{|\alpha\rangle\} \quad \langle\alpha|\beta\rangle = \delta_{\alpha\beta} \quad |\psi\rangle = \sum |\alpha\rangle\langle\alpha|\psi\rangle$$

$$\langle x|\alpha\rangle = \varphi_{\alpha}(x)$$

**FOCKŮV PROSTOR** prostor mnoha-částicových stavů

basové stavy ... symetrizované součiny jedno-částicových stavů **pro bosony**

... antisymetrizované součiny jedno-částicových stavů **pro fermiony**

určeny **posloupností obsazovacích čísel**

**0, 1, 2, 3, ...** **pro bosony**

**0, 1** ... **pro fermiony**

# Representace obsazovacích čísel

Nezávislé částice (... **neinteragující**)

base jedno-částicových stavů (  $\alpha$  úplný soubor kvantových čísel)

$$\{|\alpha\rangle\} \quad \langle\alpha|\beta\rangle = \delta_{\alpha\beta} \quad |\psi\rangle = \sum |\alpha\rangle\langle\alpha|\psi\rangle$$

$$\langle x|\alpha\rangle = \varphi_\alpha(x)$$

**FOCKŮV PROSTOR** prostor mnoha-částicových stavů

basové stavy ... symetrizované součiny jedno-částicových stavů **pro bosony**

... antisymetrizované součiny jedno-částicových stavů **pro fermiony**

určeny **posloupností obsazovacích čísel**      **0, 1, 2, 3, ... pro bosony**

**0, 1**      ... **pro fermiony**

$$\Psi_{\{n_\alpha\}} = \left| \alpha_1, \alpha_2, \alpha_3, \dots, \alpha_p, \dots \right\rangle$$

částicový stav  $n = \sum n_p$



# Representace obsazovacích čísel pro fermiony

Representace obsazovacích čísel (v podstatě *druhé kvantování*)

.... pro **fermiony**

**Pauliho princip**

*fermiony jsou distanční typ jako rackové*

$$\Psi_{\{n_\alpha\}} = \left\{ \alpha_1, \alpha_2, \alpha_3, \dots, \alpha_p, \dots \right\}$$

$$|n_1, n_2, n_3, \dots, n_p, \dots\rangle$$

$$|0\rangle = |0, 0, 0, \dots, \dots\rangle$$

$$|1_p\rangle = |0, 0, 0, \dots, \dots\rangle$$

$$|\dots, \dots, 1, 1, \dots, \dots\rangle$$

$$|\dots, \dots, \dots, \dots\rangle$$

$$|F\rangle = |1, 1, \dots, \dots\rangle$$

N

částicový stav  $n = \sum n_p, n_p = 0, 1$

částicový stav **vakuum**

částic.  $\varphi_{\alpha_p}(x)$

částic.  $(\varphi_{\alpha_1}(x)\varphi_{\alpha_2}(x') - \varphi_{\alpha_1}(x')\varphi_{\alpha_2}(x))/\sqrt{2}$

~~$\varphi_{\alpha_1}(x)\varphi_{\alpha_1}(x')$~~  **není dovoleno**

částicový základní stav

...

# Representace obsazovacích čísel pro bosony

Representace obsazovacích čísel (v podstatě *druhé kvantování*)

.... pro **bosony**

**princip identity**

*bosony jsou kontaktní typ jako opice*

$$\{\alpha_1, \alpha_2, \alpha_3, \dots, \alpha_p, \dots\}$$

$$\Psi_{\{n_\alpha\}} = |n_1, n_2, n_3, \dots, n_p, \dots\rangle$$

částicový stav  $n = \sum n_p, n_p = 0, 1, 2, 3, \dots$

$$|0\rangle = |0, 0, 0, \dots, \dots\rangle$$

částicový stav **vakuum**

$$|1_p\rangle = |0, 0, 0, \dots, \dots\rangle$$

částic.  $\varphi_{\alpha_p}(x)$

$$|\dots\rangle = |\dots, \dots, \dots, \dots\rangle$$

částic.  $(\varphi_{\alpha_1}(x)\varphi_{\alpha_2}(x') + \varphi_{\alpha_1}(x')\varphi_{\alpha_2}(x))/\sqrt{2}$

$$|\dots\rangle = |\dots, \dots, \dots, \dots\rangle$$

částic.  $\varphi_{\alpha_1}(x)\varphi_{\alpha_1}(x')$  je dovoleno

$$|B\rangle = |N, 0, 0, \dots, \dots\rangle$$

částicový základní stav

všechny na jednom orbitalu

$$\varphi_{\alpha_1}(x_1)\varphi_{\alpha_1}(x_2)\dots, (\alpha_1, \dots, \alpha_N)$$

Které částice jsou Bosony

# Příklady bosonů

částice -- kvanta  
 $N$  se nezachovává

bosony

komplexní částice  
 $N$  se zachovává

elementární  
částice

fotony

kvazičástice

fonony  
magnony

atomy

${}^4\text{He}$ ,  ${}^7\text{Li}$ ,  ${}^{23}\text{Na}$ ,  ${}^{87}\text{Rb}$   
alkalické kovy

excitované  
atomy

# Příklady bosonů (rozšíření tabulky)

částice -- kvanta  
 $N$  se nezachovává

bosony

komplexní částice  
 $N$  se zachovává

elementární  
částice

fotony

kvazičástice

fonony  
magnony

složené  
kvazičástice

excitony  
Cooperovy páry

atomy

${}^4\text{He}$ ,  ${}^7\text{Li}$ ,  ${}^{23}\text{Na}$ ,  ${}^{87}\text{Rb}$   
alkalické kovy

excitované  
atomy

ionty

molekuly

*Jak může komplexní částice, například atom, vystupovat jako jednotný celek --- boson*

## **ZÁKLADNÍ PODMÍNKA**

Identita zahrnuje charakteristiky jako hmotnost, náboj, ale také hodnoty pozorovatelných příslušných vnitřním stupňům volnosti, které **se nesmějí měnit v průběhu studovaného dynamického procesu.**

# Existence absolutní nuly

- Absolutní nula teploty pro ideální plyn definována vztahem

$$\frac{1}{2} m \langle v^2 \rangle = \frac{3}{2} k_B T$$

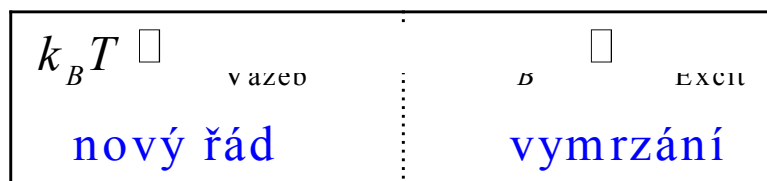
a podmínkou nulové kinetické energie.

- Pro všechny další systémy se použije transitivity teploty pro tělesa v kontaktu (vzájemné tepelné rovnováze)
- Absolutní nula není dosažitelná konečným procesem (3. zákon termodyn.)

$$S \rightarrow 0, \quad C_v \rightarrow 0, \quad \dots \rightarrow 0$$

- Zvláštní jevy, makroskopické kvantové jevy, jako supravodivost, v blízkosti nuly. Ovšem co je „blízkost“? Vysokoteplotní supravodivost, život, ...

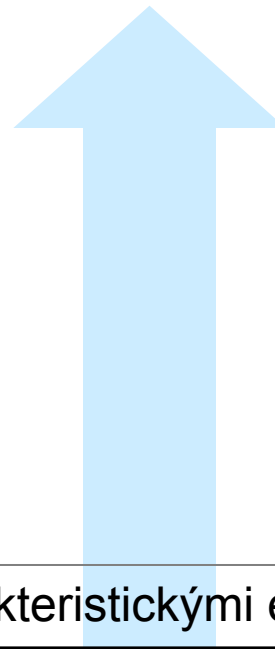
Porovnat teplotu s charakteristickými energiemi



*Jak může komplexní částice, například atom, vystupovat jako jednotný celek --- boson*

## ZÁKLADNÍ PODMÍNKA

Identita zahrnuje charakteristiky jako hmotnost, náboj, ale také hodnoty pozorovatelných příslušných vnitřním stupňům volnosti, které **se nesmějí měnit v průběhu studovaného dynamického procesu.**



Porovnat teplotu s charakteristickými energiemi

$$k_B T \ll$$

vazeb

nový řád

$D$

EXCIT

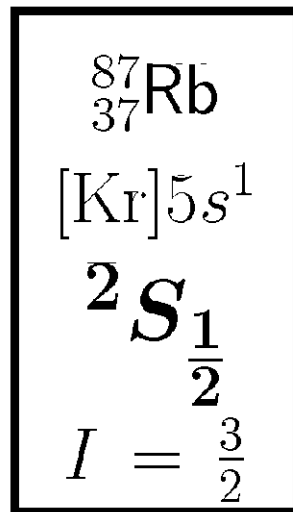
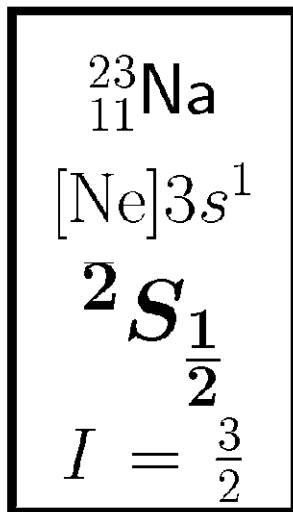
vymrzání



*Jak může komplexní částice, například atom, vystupovat jako jednotný celek --- boson*

## ZÁKLADNÍ PODMÍNKA

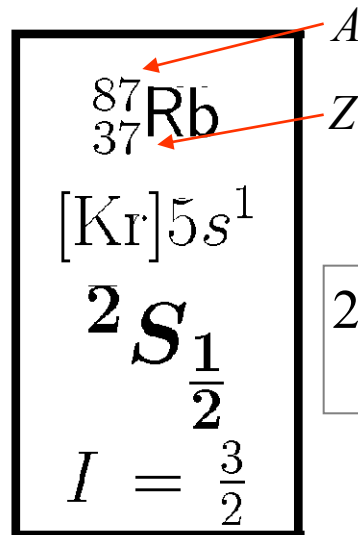
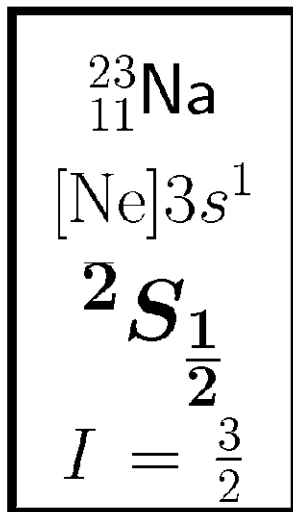
Identita zahrnuje charakteristiky jako hmotnost, náboj, ale také hodnoty pozorovatelných příslušných vnitřním stupňům volnosti, které **se nesmějí měnit v průběhu studovaného dynamického procesu.**



*Jak může komplexní částice, například atom, vystupovat jako jednotný celek --- boson*

## ZÁKLADNÍ PODMÍNKA

Identita zahrnuje charakteristiky jako hmotnost, náboj, ale také hodnoty pozorovatelných příslušných vnitřním stupňům volnosti, které **se nesmějí měnit v průběhu studovaného dynamického procesu.**



elektronová konfigurace  
 $1s^2 2s^2 2p^6 3s^2 3p^6 3d^{10} 4s^2 4p^6 5s^1$

$$2S+1 L_J$$

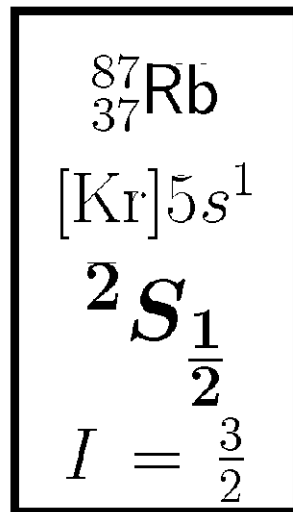
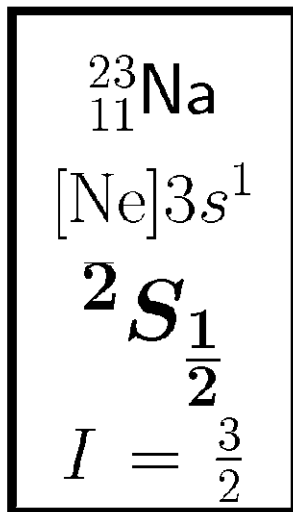
$$\vec{J} = \vec{L} + S$$

$$J = |S - L|, \dots, \quad = \frac{1}{2}$$

*Jak může komplexní částice, například atom, vystupovat jako jednotný celek --- boson*

## ZÁKLADNÍ PODMÍNKA

Identita zahrnuje charakteristiky jako hmotnost, náboj, ale také hodnoty pozorovatelných příslušných vnitřním stupňům volnosti, které **se nesmějí měnit v průběhu studovaného dynamického procesu.**



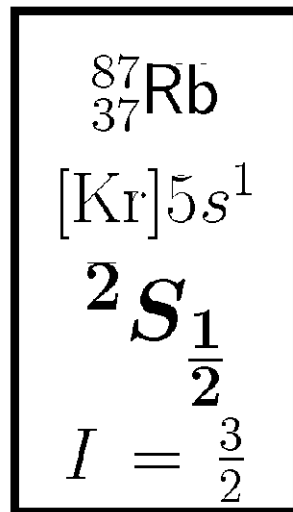
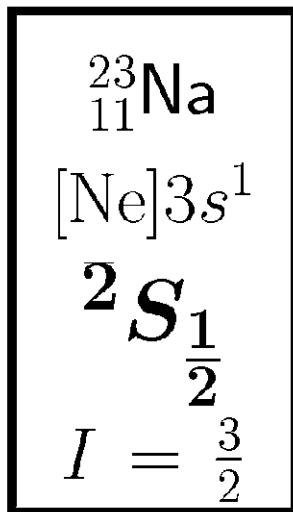
### Rubidium

37 elektronů     *celk. elektronový spin*      $S = \frac{1}{2}$   
37 protonů     }  
50 neutronů     } *celk. jaderný spin*      $I = \frac{3}{2}$

*Jak může komplexní částice, například atom, vystupovat jako jednotný celek --- boson*

## ZÁKLADNÍ PODMÍNKA

Identita zahrnuje charakteristiky jako hmotnost, náboj, ale také hodnoty pozorovatelných příslušných vnitřním stupňům volnosti, které **se nesmějí měnit v průběhu studovaného dynamického procesu.**



### Rubidium

37 elektronů      *celk. elektronový spin*       $S = \frac{1}{2}$

37 protonů }  
50 neutronů }      *celk. jaderný spin*       $I = \frac{3}{2}$

*celkový spin atomu*

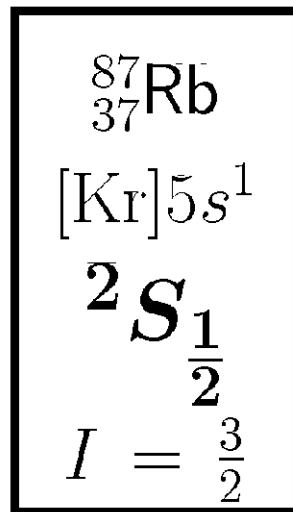
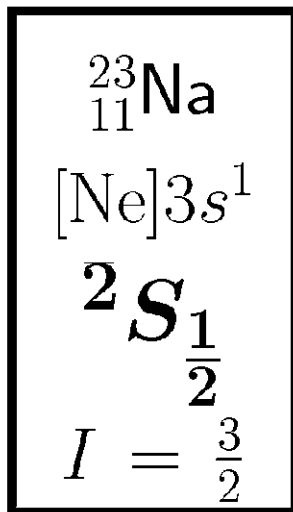
$$\vec{F} = \vec{S} + \vec{I}$$

$$F = |S - I|, \dots, \quad = 1, 2$$

*Jak může komplexní částice, například atom, vystupovat jako jednotný celek --- boson*

## ZÁKLADNÍ PODMÍNKA

Identita zahrnuje charakteristiky jako hmotnost, náboj, ale také hodnoty pozorovatelných příslušných vnitřním stupňům volnosti, které **se nesmějí měnit v průběhu studovaného dynamického procesu.**



### Rubidium

37 elektronů      *celk. elektronový spin*       $S = \frac{1}{2}$

37 protonů }  
50 neutronů }      *celk. jaderný spin*       $I = \frac{3}{2}$

*celkový spin atomu*

$$\vec{F} = \vec{S} + \vec{I}$$

$$F = |S - I|, \dots, S + I = 1, 2$$

Koexistují dvě rozlišitelné odrůdy; mohou být odděleny sdruženým působením hyperjemných interakcí a Zeemanova štěpení v magnetickém poli

# Ideální kvantové plyny

## *Ideální klasický plyn*

$$\langle n \rangle = e^{-\beta(\varepsilon - \mu)} \quad \text{Boltzmannovo rozdělení}$$

vysoké teploty, zředěný plyn

# Ideální klasický plyn

$$\langle n \rangle = e^{-\beta(\varepsilon - \mu)} \quad \text{Boltzmannovo rozdělení}$$

vysoké teploty, zředěný plyn

$$T = 0$$

Fermiony

elektrony

Bosony  $N = \text{const.}$

atomy

Bosony

fotony

$$|F\rangle = |1, 1, \dots, \dots\rangle$$

$$|\dots\rangle, |\dots, \dots, \dots\rangle$$

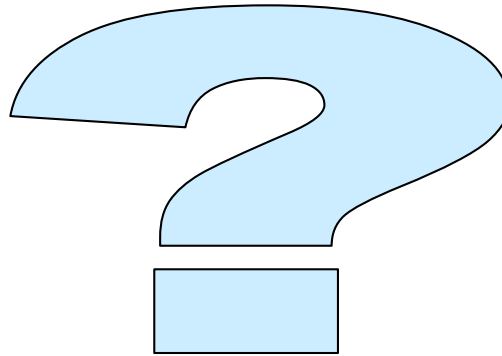
$$|\dots\rangle$$



# Ideální klasický plyn

$$\langle n \rangle = e^{-\beta(\varepsilon - \mu)} \quad \text{Boltzmannovo rozdělení}$$

vysoké teploty, zředěný plyn



$$T = 0$$

Fermiony

elektrony

Bosony  $N = \text{const.}$

atomy

Bosony

fotony

$$|F\rangle = |1, 1, \dots, \dots\rangle$$

$$|B\rangle = |1, 1, \dots, \dots\rangle$$

$$|B\rangle = |1, 1, \dots, \dots\rangle$$

# Ideální kvantové plyny

$$\langle n \rangle = e^{-\beta(\varepsilon - \mu)} \quad \text{Boltzmannovo rozdělení}$$

vysoké teploty, zředěný plyn

fermiony

bosony

$N$

$N$

FD

BE

$$\langle n \rangle = \frac{1}{e^{\beta(\varepsilon - \mu)} + 1}$$

$$\langle n \rangle = \frac{1}{e^{\beta(\varepsilon - \mu)} - 1}$$

$$\langle n \rangle = \frac{1}{e^{\beta\varepsilon} - 1}$$

# Ideální kvantové plyny

$$\langle n \rangle = e^{-\beta(\varepsilon - \mu)} \quad \text{Boltzmannovo rozdělení}$$

vysoké teploty, zředěný plyn

chemický potenciál fixuje  
střední počet částic

fermiony

bosony

FD

$N$

$N$

BE

$$\langle n \rangle = \frac{1}{e^{\beta(\varepsilon - \mu)} + 1}$$

$$\langle n \rangle = \frac{1}{e^{\beta(\varepsilon - \mu)} - 1}$$

$$\langle n \rangle = \frac{1}{e^{\beta\varepsilon} - 1}$$

# Ideální kvantové plyny

$$\langle n \rangle = e^{-\beta(\varepsilon - \mu)} \quad \text{Boltzmannovo rozdělení}$$

vysoké teploty, zředěný plyn

fermiony

bosony

FD

$N$

$N$

BE

$$\langle n \rangle = \frac{1}{e^{\beta(\varepsilon - \mu)} + 1}$$

$$\langle n \rangle = \frac{1}{e^{\beta(\varepsilon - \mu)} - 1}$$

$$\langle n \rangle = \frac{1}{e^{\beta\varepsilon} - 1}$$

$$T \rightarrow 0$$

$$T \rightarrow 0$$

$$T \rightarrow 0$$

$$|F\rangle = |1, 1, \dots, \dots\rangle$$

$$|\dots, \dots, \dots, \dots\rangle$$

$$|\dots, \dots\rangle$$





# Ideální kvantové plyny

$$\langle n \rangle = e^{-\beta(\varepsilon - \mu)} \quad \text{Boltzmannovo rozdělení}$$

vysoké teploty, zředěný plyn

fermiony

bosony

FD

$N$

$N$

BE

$$\langle n \rangle = \frac{1}{e^{\beta(\varepsilon - \mu)} + 1}$$

$$\langle n \rangle = \frac{1}{e^{\beta(\varepsilon - \mu)} - 1}$$

$$\langle n \rangle = \frac{1}{e^{\beta\varepsilon} - 1}$$

$T \rightarrow 0$

$T \rightarrow 0$

$T \rightarrow 0$

Aufbau princip

?

vymrzání

$$|F\rangle = |1, 1, \dots, \dots\rangle$$

$$|\dots, \dots, \dots, \dots\rangle$$





# Bose-Einsteinova kondensace BEC

## Podstata BEC

Mějme homogenní plyn,  $N$  atomů v objemu  $V$

S klesající teplotou atomy ztrácejí energii a „stékají“ do nižších stavů. Těch však ubývá:

$$\mathcal{N}(E < k_B T) = \text{const} \times T^{3/2}$$

Daný počet atomů  $N$  počínajíc jistou **kritickou teplotou** je příliš velký.

Přebytek  $N - \mathcal{N}$  se vyloučí do nejnižší hladiny, která je pak makroskopicky obsazena, tj. ze všech atomů je na ní makroskopický zlomek.

To je BEC kondensát.

Při nulové teplotě jsou na nejnižší hladině atomy všechny.

## Podstata BEC

Mějme homogenní plyn,  $N$  atomů v objemu  $V$

S klesající teplotou atomy ztrácejí energii a „stékají“ do nižších stavů. Těch však ubývá:

$$\mathcal{N}(E < k_B T) = \text{const} \times T^{3/2}$$

Daný počet atomů  $N$  počínajíc jistou **kritickou teplotou** je příliš velký.

Přebytek  $N - \mathcal{N}$  se vyloučí do nejnižší hladiny, která je pak makroskopicky obsazena, tj. ze všech atomů je na ní makroskopický zlomek.

To je BEC kondensát.

Při nulové teplotě jsou na nejnižší hladině atomy všechny.

**Tuto úvahu a přesný výpočet integrálů provedl Einstein**  
*... následující folie.*

**Maximální počet atomů v plynné fázi při dané teplotě**

$$\tilde{\mathcal{N}}_{\text{G}} \times 4\pi \left( \frac{2mk_B T}{h^2} \right)^{\frac{3}{2}} \Gamma\left(\frac{3}{2}\right) \zeta\left(\frac{3}{2}\right) \equiv BT^{\frac{3}{2}}$$

# Einstein's rukopis s odvozením BEC

(19) 1905

Quantentheorie des einatomigen idealen Gases

Zweite Abhandlung.

§ 1. Einleitung (205) 1918, 1926f.

In einer unvollständigen Behandlung wurde unter Benutzung eines von Planck 2. Bore zur Ableitung des Planck'schen Strahlungsgesetzes entwickelten Methode eine Theorie der Verteilung des einatomigen Gases aufgestellt. Das Interesse dieser Theorie liegt darin, dass sie auf die Hypothese eines mitgetheilten formalen Zusammenhangs zwischen Strahlung und Gas gegründet ist. Nach dieser Theorie besteht das einatomige Gas aus einem Gas der mechanischen Statistik in analoger Weise ab wie die Strahlung gemäss dem Planck'schen Gesetz von der Strahlung gemäss dem Wien'schen Gesetz. Wenn die Theorie der Ableitung des Planck'schen Strahlungsgesetzes mit gewonnenen wird, so wird man auch an dieser Theorie der idealen Gase nicht verzweifeln dürfen; denn wenn es gezeigt werden kann, dass die Strahlung als Gas betrachtet werden kann, so muss die Theorie gemäss den Gesetzen der Mechanik und Statistik sein. Die Hypothese soll die folgenden Ableitungen durch einige neue Ergebnisse werden, die unter dem Interesse an dem Gegenstande zu erlangen verdienen. In Bezugnahme auf die bisherige Arbeit ist das Folgende formal als Fortsetzung der jetzigen Abhandlung.

§ 2. Das gesättigte ideale Gas.

Bei der Theorie des idealen Gases besteht es eine unvollständige Kenntnis, was blossen mit Temperatur eine Gemenge unvollständig gegeben werden können. Die Theorie bestimmt durch die Energie des Planck'schen Gases, die Verteilung der in einer Gleichung (20, 21, 22, 23) enthaltenen Zustandsgleichung zeigt aber, dass bei gegebenem Molvolumen und gegebener Temperatur das Verhalten nicht beliebig abgemessen werden können. (20) verlangt nämlich, dass für alle  $\alpha$  gilt, dass gemäss (20) besteht das A & S ein Gesetz. Dies bedeutet, dass in der in diesem Teile gültigen Gleichung (20) die Funktion  $\epsilon$  und  $\epsilon'$  durch  $\epsilon = \epsilon'$  folgt. Es ist, dass die Zahl der Moleküle in einem gegebenen Volumen nicht gegeben sein kann als

$$n = \frac{(2\pi m k T)^{3/2}}{h^3} V \frac{e^{-\epsilon/kT}}{Z} \dots (24)$$

(20)

Was geschieht man aber, wenn ich bei dieser Temperatur  $T$  &  $V$  durch isothermale Kompression die Dichte der Substanz mehr und mehr wachsen lässt?

Ich behaupte, dass in diesem Falle eine mit der Dichte stets wachsende Zahl von Molekülen in dem 1. Quantenzustand (Zustand ohne kinetische Energie) verbleibt, während die übrigen Moleküle sich gemäss dem Parameter  $\epsilon$  mit  $\epsilon = 1$  verteilen. Die Behauptung geht also dahin, dass etwas Ähnliches tritt ein wie beim isothermen Komprimieren eines Dampfes über das Sättigungsgrenze. Es tritt eine Verteilung ein: ein Teil, kondensiert<sup>2</sup>, der Rest bleibt ein gesättigtes ideales Gas (A. O. A. 2).

Über die beiden Teile der die Teil ein thermodynamisches Gleichgewicht bilden, sieht man ein, indem man zeigt, dass die "Moleküle  $\epsilon = 1$ " und das gesättigte ideale Gas  $\epsilon = 1$  Planck'sche Funktionen  $\epsilon = 1 - \frac{1}{2} \frac{1}{e^{\epsilon/kT}}$  haben. Für die "kondensierte" Substanz verschwindet  $\epsilon$ , weil  $\epsilon, \epsilon'$  und  $\epsilon''$  verschwinden. Für das gesättigte Gas hat man nach (20) gemäss

$$S = -k \sum_{\epsilon} \left( 1 - e^{-\epsilon/kT} \right) \ln \left( 1 - e^{-\epsilon/kT} \right) + \frac{3}{2} N k \dots (25)$$

Die Formel kann man als Integral schreiben und durch partielle Integration umformen. Man erhält so gemäss

$$\sum_{\epsilon} = - \int_0^{\infty} \frac{1}{e^{\epsilon/kT} - 1} \frac{1}{kT} \frac{1}{2} \frac{d\epsilon}{d\epsilon} d\epsilon,$$

oder gemäss (25) und (26) folgt

$$\sum_{\epsilon} = - \frac{3}{2} \int_0^{\infty} \frac{1}{e^{\epsilon/kT} - 1} \frac{1}{kT} d\epsilon = - \frac{3}{2} \frac{1}{kT} = - \frac{3}{2} \frac{N}{kT} \dots (26)$$

Aus (25) und (26) folgt also für das gesättigte ideale Gas

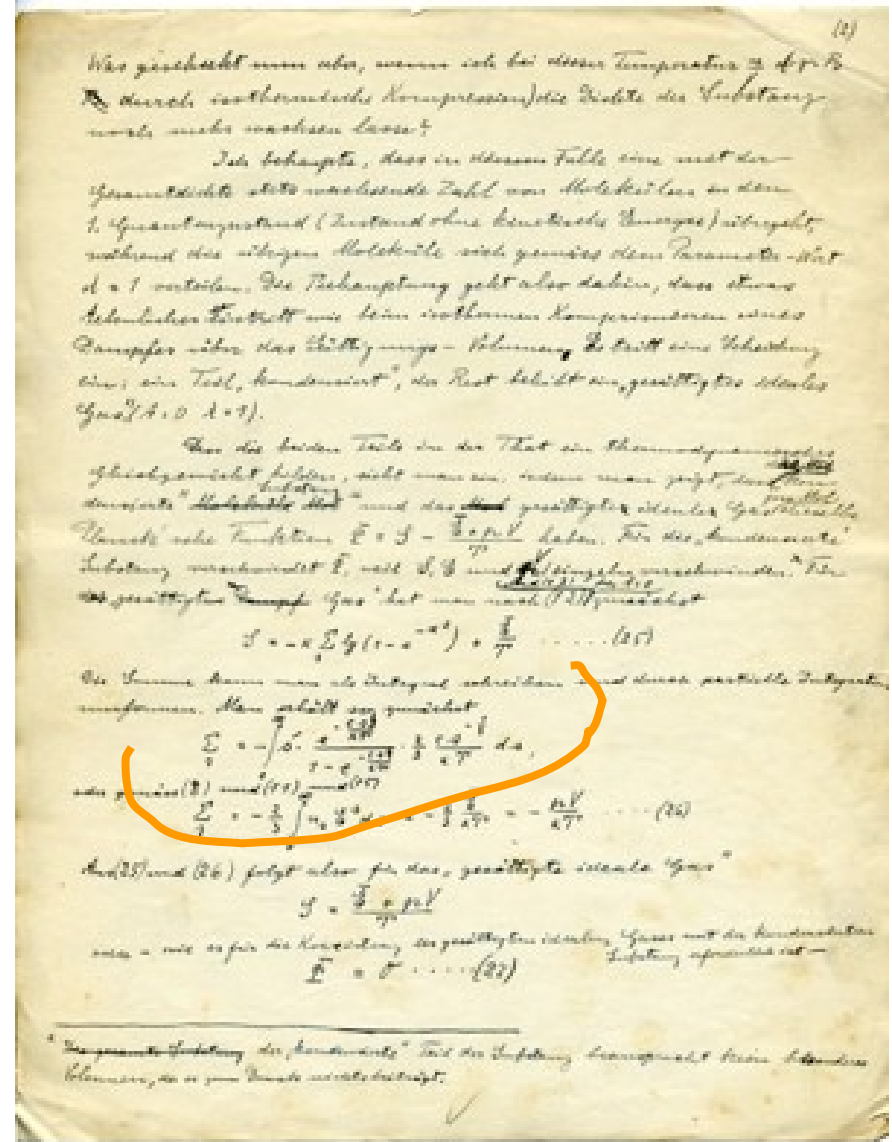
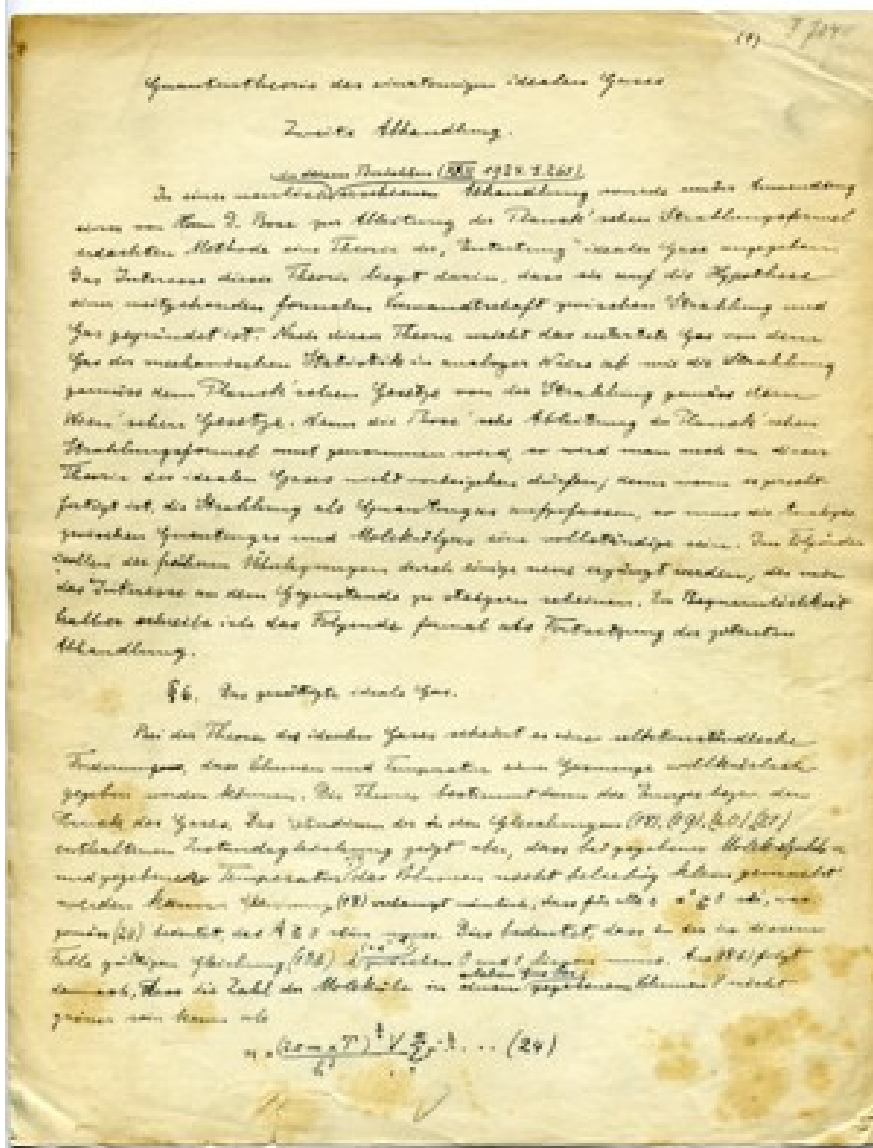
$$S = \frac{3}{2} N k \ln \frac{V}{V_0}$$

oder wie es für die Kompression des gesättigten idealen Gases mit der kondensierten Substanz angegeben ist

$$S = S' \dots (27)$$

<sup>2</sup> Die gesättigte Substanz der "kondensierten" Teil der Substanz kondensiert kein bestimmtes Volumen, da es zum Zweck unvollständig ist.

# Einstein's rukopis s odvozením BEC



# Kritická teplota pro BEC

## KRITICKÁ TEPLOTA

nejnižší teplota, při níž jsou všechny atomy ještě v plynné fázi:

$$N = \tilde{N}_{G(u,c),-} \times 4\pi \left( \frac{2mk_B T_c}{h^2} \right)^{\frac{3}{2}} \Gamma\left(\frac{3}{2}\right) \zeta\left(\frac{3}{2}\right)$$

$$T_c = \frac{h^2}{4\pi m k_B} \cdot \left( \frac{N}{2,612V} \right)^{\frac{2}{3}} = 0,52725 \frac{h^2}{4\pi u k_B} \cdot \frac{n^{\frac{2}{3}}}{A} = 8,0306 \times 10^{-19} \cdot \frac{n^{\frac{2}{3}}}{A}$$

# Kritická teplota pro BEC

## KRITICKÁ TEPLOTA

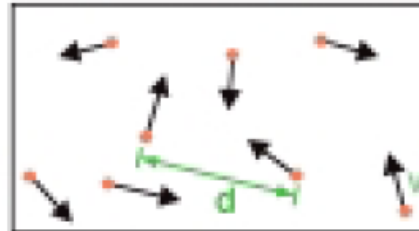
nejnižší teplota, při níž jsou všechny atomy ještě v plynné fázi:

$$T_c = \frac{h^2}{4\pi m k_B} \cdot \left( \frac{N}{2,612 V} \right)^{\frac{2}{3}} = 0,52725 \frac{h^2}{4\pi u k_B} \cdot \frac{n^{\frac{2}{3}}}{M} = 8,0306 \times 10^{-19} \cdot \frac{n^{\frac{2}{3}}}{M}$$

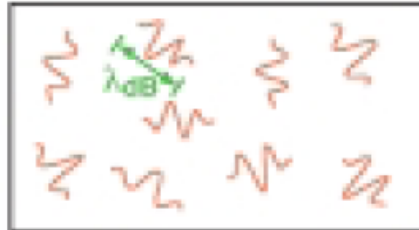
Několik odhadů:

system	$M$	$n$	$T_c$
He-4 kapalné	4	$2 \times 10^{28}$	1.47 K
Na past	23	$2 \times 10^{20}$	1.19 $\mu$ K
Rb past	87	$2 \times 10^{17}$	3.16 nK

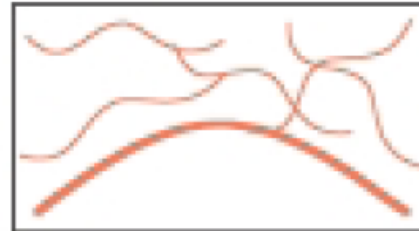
# Ketterle vysvětluje BEC švédskému králi



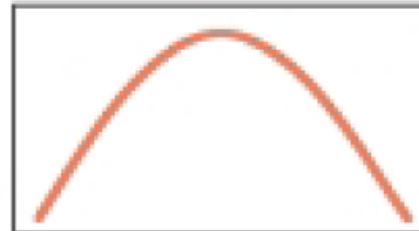
**High Temperature T:**  
thermal velocity  $v$   
density  $d^{-3}$   
"Billiard balls"



**Low Temperature T:**  
De Broglie wavelength  
 $\lambda_{dB} = h/mv \propto T^{-1/2}$   
"Wave packets"




**T = T<sub>crit</sub>:**  
Bose-Einstein  
Condensation  
 $\lambda_{dB} \approx d$   
"Matter wave overlap"



**T=0:**  
Pure Bose  
condensate  
"Giant matter wave"



# Vzpomínka: de Broglieho vlnová délka pro atomy a molekuly


$$\lambda = \frac{2\pi\hbar}{p}$$

Tepelné energie jsou malé .... platí NR vzorce

$$\lambda = \frac{2\pi\hbar}{\sqrt{2mE_{\text{kin}}}} \quad m = Au$$

V tepelné rovnováze

... rel. at. (mol.) hmotnost

$$\langle E_{\text{kin}} \rangle = \frac{3}{2} k_B T$$

tepelná vlnová  
délka

$$\lambda = \frac{2\pi\hbar}{\sqrt{3m k_B T}} = 2,5 \times 10^{-9} \cdot \frac{1}{\sqrt{AT}}$$

Dva užitečné vzorce

$$E_{\text{kin}} = \frac{3}{2} T / 11600 \quad \text{eV K} \quad \bar{v} = \sqrt{\langle v^2 \rangle} = 158 \sqrt{\frac{T}{A}}$$

# Vzpomínka: de Broglieho vlnová délka pro atomy a molekuly

1

$$\lambda = \frac{2\pi\hbar}{p}$$

Tepelné energie jsou malé .... platí NR vzorce

$$\lambda = \frac{2\pi\hbar}{\sqrt{2mE_{\text{kin}}}} \quad m = Au$$

V tepelné rovnováze

... rel. at. (mol.) hmotnost

$$\langle E_{\text{kin}} \rangle = \frac{3}{2} k_B T$$

tepelná vlnová  
délka

$$\lambda = \frac{2\pi\hbar}{\sqrt{3m k_B T}} = 2,5 \times 10^{-9} \cdot \frac{1}{\sqrt{AT}}$$

Dva užitečné vzorce

$$E_{\text{kin}} = \frac{3}{2} T / 11600 \quad \text{eV K} \quad \bar{v} = \sqrt{\langle v^2 \rangle} = 158 \sqrt{\frac{T}{A}}$$

# Vzpomínka: de Broglieho vlnová délka pro atomy a molekuly

1

$$\lambda = \frac{2\pi\hbar}{p}$$

Tepelné energie jsou malé .... platí NR vzorce

2

$$\lambda = \frac{2\pi\hbar}{\sqrt{2mE_{\text{kin}}}} \quad m = Au$$

V tepelné rovnováze

... rel. at. (mol.) hmotnost

$$\langle E_{\text{kin}} \rangle = \frac{3}{2} k_B T$$

tepelná vlnová  
délka

$$\lambda = \frac{2\pi\hbar}{\sqrt{3m k_B T}} = 2,5 \times 10^{-9} \cdot \frac{1}{\sqrt{AT}}$$

Dva užitečné vzorce

$$E_{\text{kin}} = \frac{3}{2} T / 11600 \quad \text{eV K} \quad \bar{v} = \sqrt{\langle v^2 \rangle} = 158 \sqrt{\frac{T}{A}}$$

# Vzpomínka: de Broglieho vlnová délka pro atomy a molekuly

1

$$\lambda = \frac{2\pi\hbar}{p}$$

Tepelné energie jsou malé .... platí NR vzorce

2

$$\lambda = \frac{2\pi\hbar}{\sqrt{2mE_{\text{kin}}}} \quad m = Au$$

V tepelné rovnováze

... rel. at. (mol.) hmotnost

3

$$\langle E_{\text{kin}} \rangle = \frac{3}{2} k_B T$$

tepelná vlnová  
délka

$$\lambda = \frac{2\pi\hbar}{\sqrt{3m k_B T}} = 2,5 \times 10^{-9} \cdot \frac{1}{\sqrt{AT}}$$

Dva užitečné vzorce

$$E_{\text{kin}} = \frac{3}{2} T / 11600 \quad \text{eV K} \quad \bar{v} = \sqrt{\langle v^2 \rangle} = 158 \sqrt{\frac{T}{A}}$$

# Vzpomínka: de Broglieho vlnová délka pro atomy a molekuly

1

$$\lambda = \frac{2\pi\hbar}{p}$$

Tepelné energie jsou malé .... platí NR vzorce

2

$$\lambda = \frac{2\pi\hbar}{\sqrt{2mE_{\text{kin}}}} \quad m = Au$$

V tepelné rovnováze

... rel. at. (mol.) hmotnost

3

$$\langle E_{\text{kin}} \rangle = \frac{3}{2} k_B T$$

tepelná vlnová  
délka

$$\lambda = \frac{2\pi\hbar}{\sqrt{3m k_B T}} = 2,5 \times 10^{-9} \cdot \frac{1}{\sqrt{AT}}$$

Dva užitečné vzorce

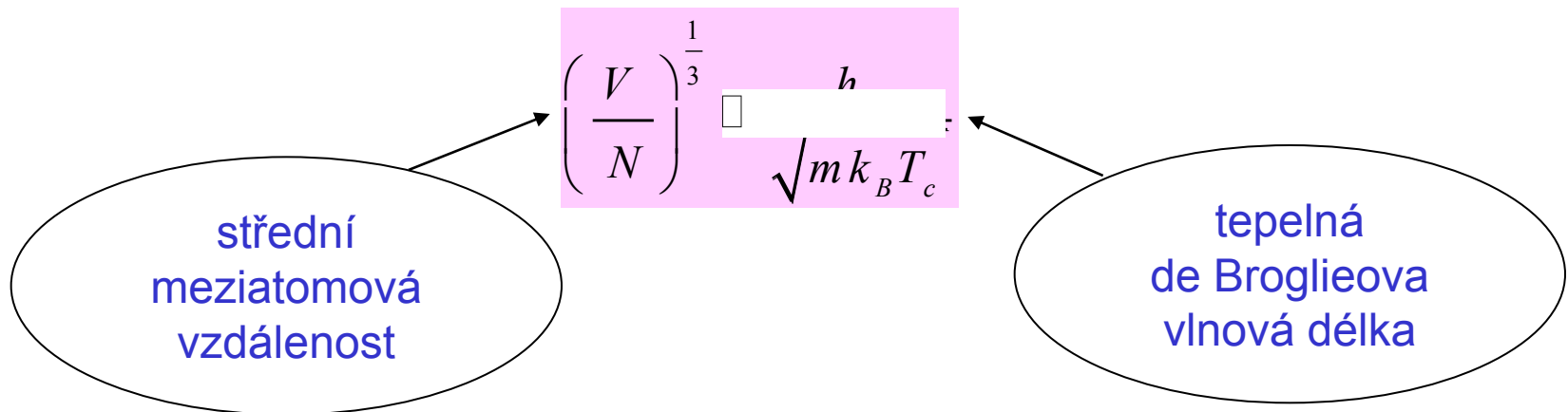
$$E_{\text{kin}} = \frac{3}{2} T / 11600 \quad \text{eV K} \quad \bar{v} = \sqrt{\langle v^2 \rangle} = 158 \sqrt{\frac{T}{A}}$$

# Fyzikální interpretace $T_c$ podrobně

Formule pro kritickou teplotu

$$T_c = \frac{h^2}{4\pi m k_B} \cdot \left( \frac{N}{2,612 V} \right)^{\frac{2}{3}}$$

Upravíme na

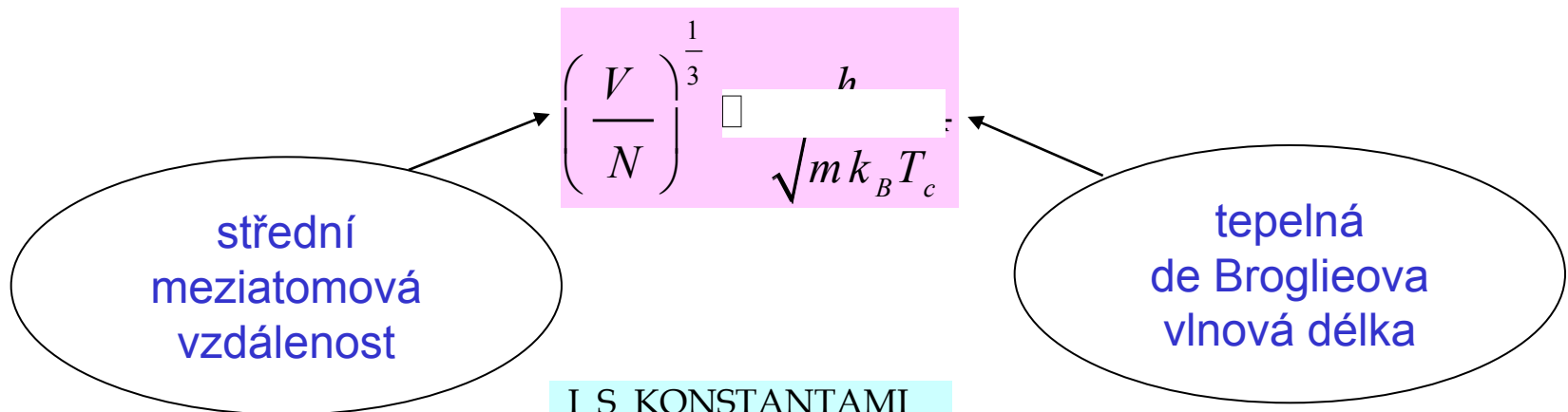


# Fyzikální interpretace $T_c$ podrobně

Formule pro kritickou teplotu

$$T_c = \frac{h^2}{4\pi m k_B} \cdot \left( \frac{N}{2,612 V} \right)^{\frac{2}{3}}$$

Upravíme na



I S KONSTANTAMI

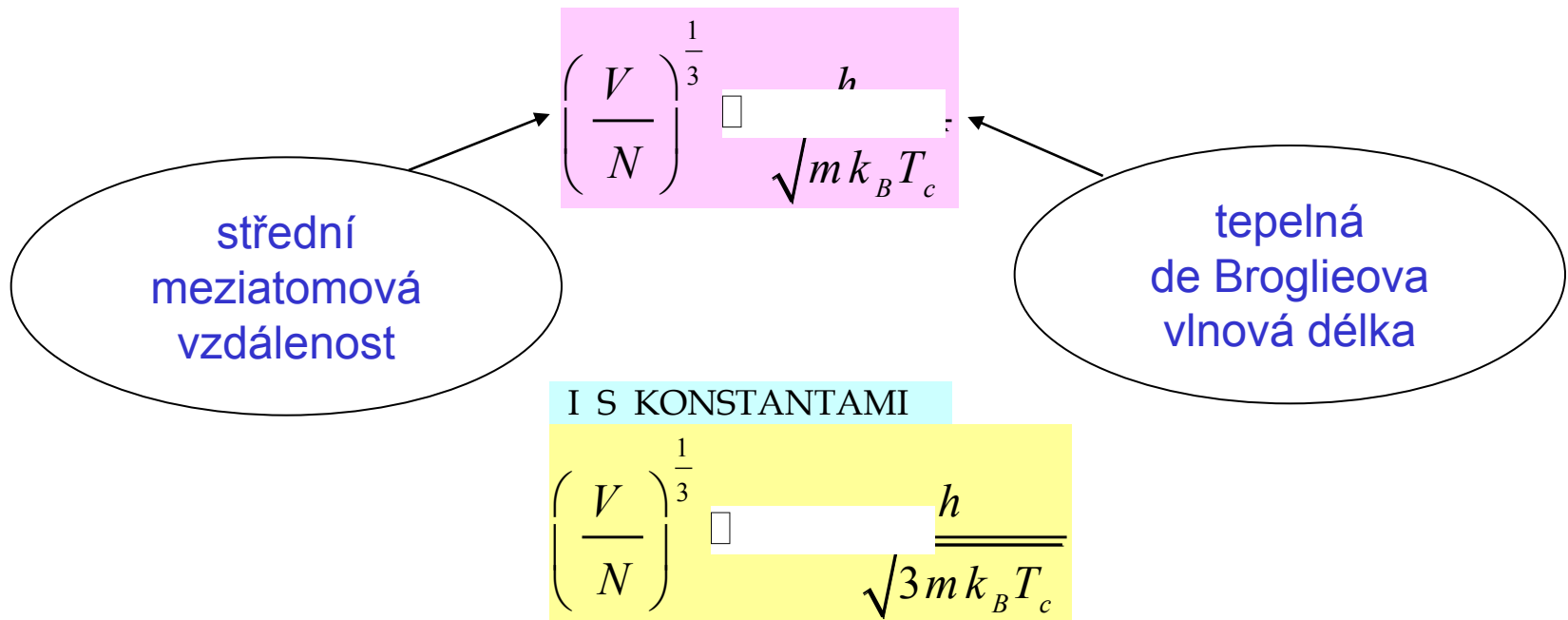
$$\left( \frac{V}{N} \right)^{\frac{1}{3}} = \sqrt{\frac{3}{4\pi \times 2.612^{\frac{2}{3}}}} \frac{h}{\sqrt{3 m k_B T_c}}$$

# Fyzikální interpretace $T_c$ podrobně

Formule pro kritickou teplotu

$$T_c = \frac{h^2}{4\pi m k_B} \cdot \left( \frac{N}{2,612 V} \right)^{\frac{2}{3}}$$

Upravíme na



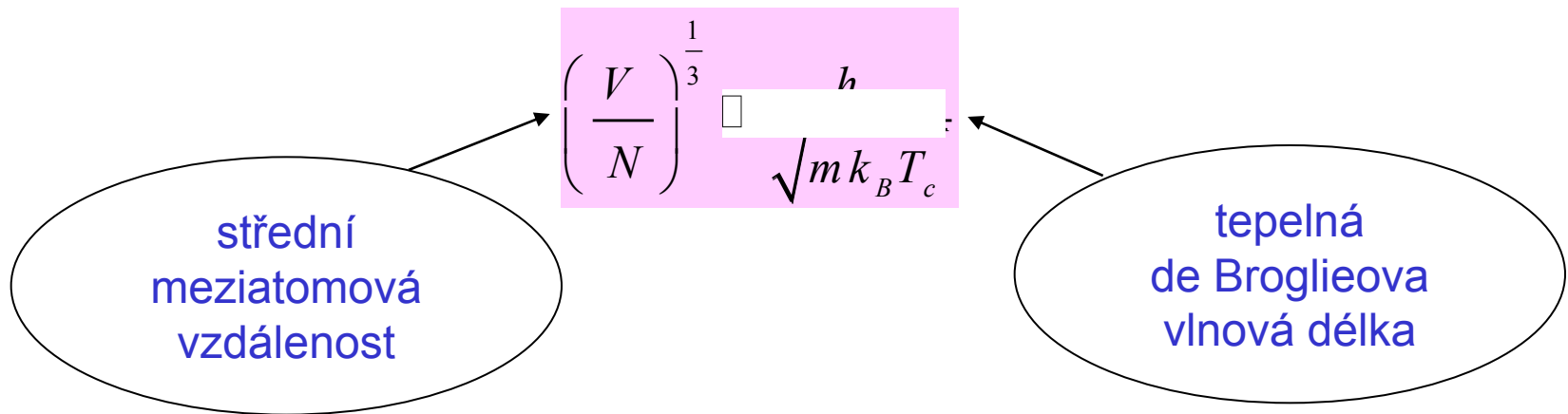


# Fyzikální interpretace $T_c$ podrobně

Formule pro kritickou teplotu

$$T_c = \frac{h^2}{4\pi m k_B} \cdot \left( \frac{N}{2,612 V} \right)^{\frac{2}{3}}$$

Upravíme na



Kvantový přechod nastane když

vlnová oblaka atomů se začnou překrývat

## *Hustota kondensátu*

$$n_G = \frac{\tilde{N}_{\text{vst}}}{V} = B T^{\frac{3}{2}} = B T_C^{\frac{3}{2}} \left( \frac{T}{T_C} \right)^{\frac{3}{2}} = n \cdot \left( \frac{T}{T_C} \right)^{\frac{3}{2}} \quad \text{pro } T < T_C$$

## Hustota kondensátu

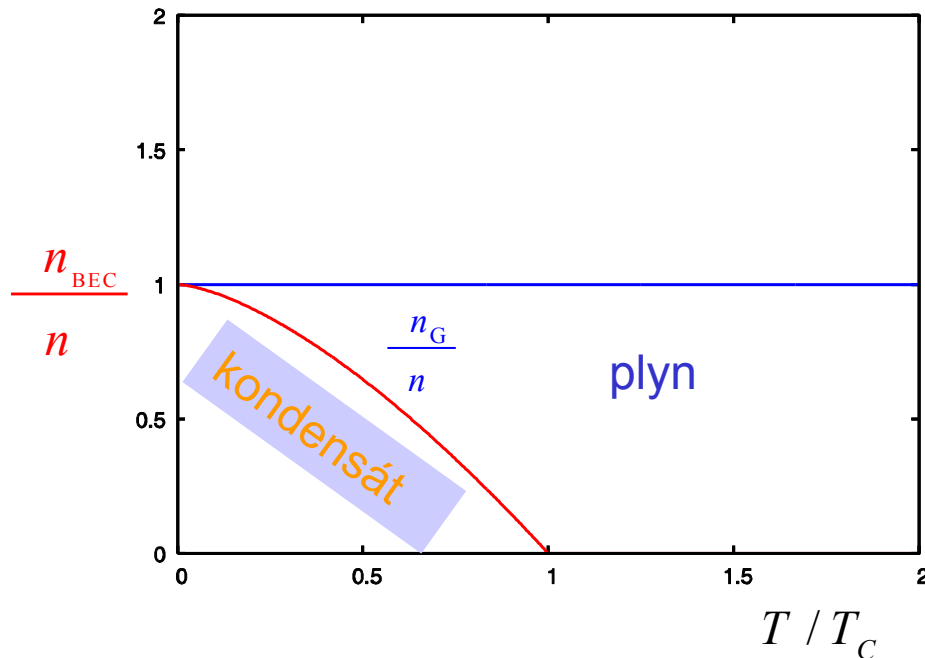
$$n_G = \frac{\tilde{\mathcal{N}}_{\text{cond}}}{V} = B T^{\frac{3}{2}} = B T_C^{\frac{3}{2}} \left( \frac{T}{T_C} \right)^{\frac{3}{2}} = n \cdot \left( \frac{T}{T_C} \right)^{\frac{3}{2}} \quad \text{pro } T < T_C$$

$$n \equiv n_G + n_{BEC} = n \cdot \left( \frac{T}{T_C} \right)^{\frac{3}{2}} + n \cdot \left[ 1 - \left( \frac{T}{T_C} \right)^{\frac{3}{2}} \right]$$

# Hustota kondensátu

$$n_G = \frac{\tilde{N}_{\text{gas}}}{V} = B T^{\frac{3}{2}} = B T_C^{\frac{3}{2}} \left( \frac{T}{T_C} \right)^{\frac{3}{2}} = n \cdot \left( \frac{T}{T_C} \right)^{\frac{3}{2}} \quad \text{pro } T < T_C$$

$$n \equiv n_G + n_{\text{BEC}} = n \cdot \left( \frac{T}{T_C} \right)^{\frac{3}{2}} + n \cdot \left[ 1 - \left( \frac{T}{T_C} \right)^{\frac{3}{2}} \right]$$



## *Podrobnější rozbor BEC*

- Termodynamicky ... fázový přechod, i když podivný
- Čistě kvantový efekt
- Mezi bosony nepůsobí reálné síly, jejich pohyb však JE reálně korelován působením principu identity (symetrické vlnové funkce)

## *Podrobnější rozbor BEC*

- Termodynamicky ... fázový přechod, i když podivný
- Čistě kvantový efekt
- Mezi bosony nepůsobí reálné síly, jejich pohyb však JE reálně korelován působením principu identity (symetrické vlnové funkce)
- BEC je „kondenzace v prostoru hybností“ , na rozdíl od zkapalnění klasických plynů, které vede ke vzniku kapek v reálném prostoru souřadnic.
- BEC nebyla vlastně nikdy pozorována, protože obyčejné fázové přechody nastávaly mnohem dříve

## *Podrobnější rozbor BEC*

- Termodynamicky ... fázový přechod, i když podivný
- Čistě kvantový efekt
- Mezi bosony nepůsobí reálné síly, jejich pohyb však JE reálně korelován působením principu identity (symetrické vlnové funkce)
- BEC je „kondenzace v prostoru hybností“ , na rozdíl od zkapalnění klasických plynů, které vede ke vzniku kapek v reálném prostoru souřadnic.
- BEC nebyla vlastně nikdy pozorována, protože obyčejné fázové přechody nastávaly mnohem dříve. **Experimentální objev BEC má proto zásadní význam**

## *Podrobnější rozbor BEC*

- Termodynamicky ... fázový přechod, i když podivný
- Čistě kvantový efekt
- Mezi bosony nepůsobí reálné síly, jejich pohyb však JE reálně korelován působením principu identity (symetrické vlnové funkce)
- BEC je „kondenzace v prostoru hybností“ , na rozdíl od zkapalnění klasických plynů, které vede ke vzniku kapek v reálném prostoru souřadnic.
- BEC nebyla vlastně nikdy pozorována, protože obyčejné fázové přechody nastávaly mnohem dříve. **Experimentální objev BEC má proto zásadní význam**
- I když nebereme „momentum condensation“ doslova, BEC vyvolává kvantovou koherenci mezi vzdálenými místy, tak jako obyčejná rovinná vlna

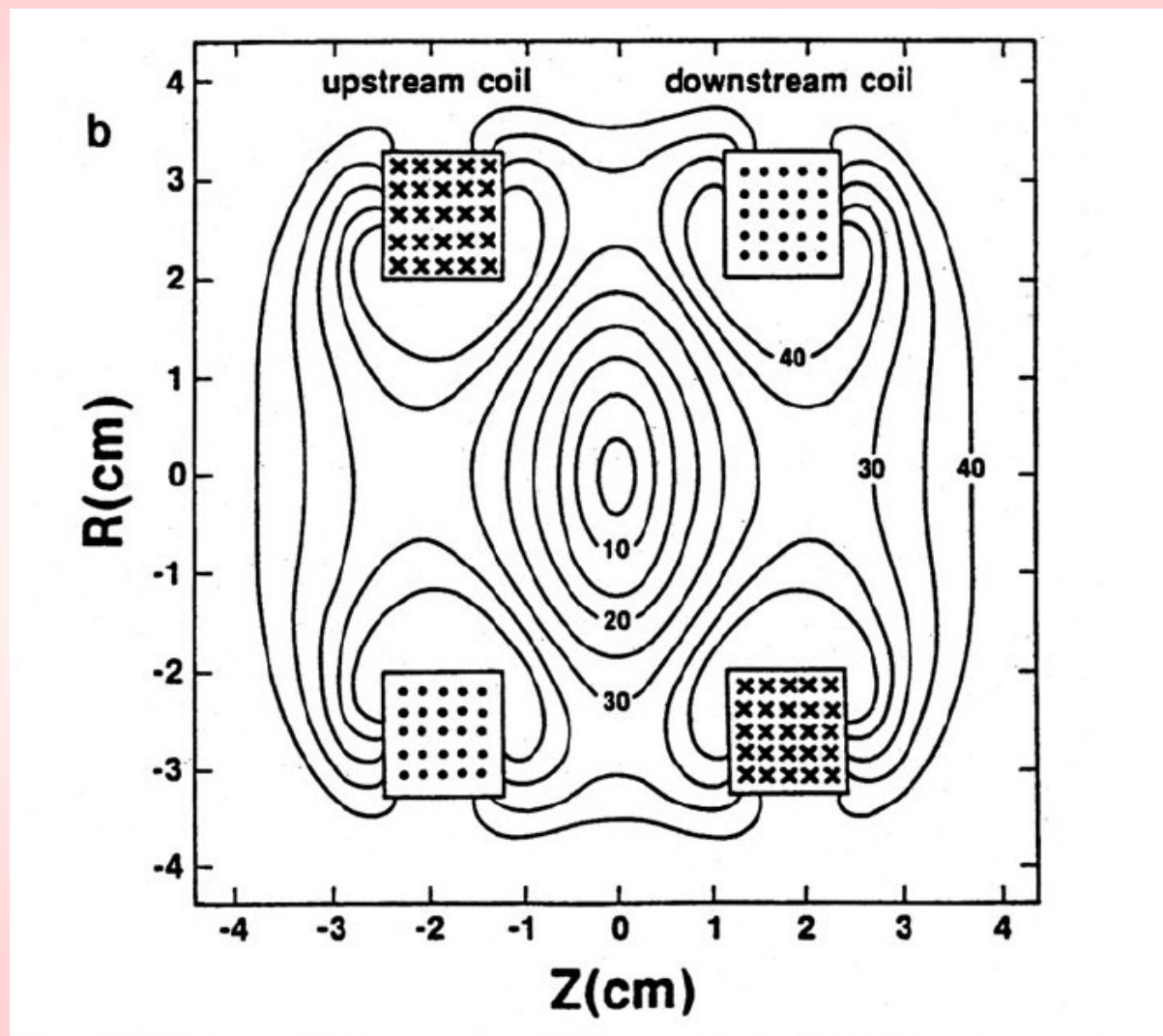


## *Podrobnější rozbor BEC*

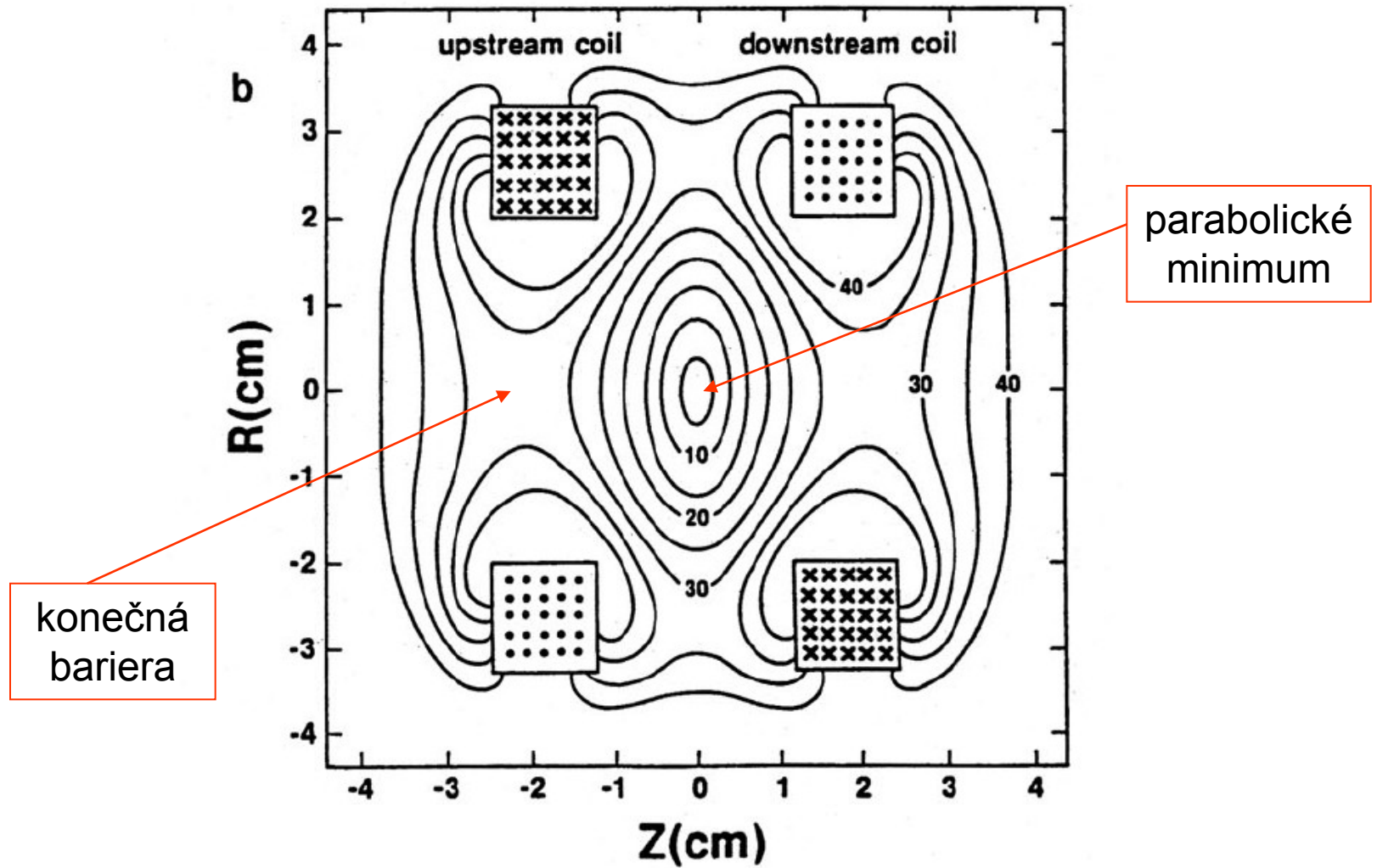
- Termodynamicky ... fázový přechod, i když podivný
- Čistě kvantový efekt
- Mezi bosony nepůsobí reálné síly, jejich pohyb však JE reálně korelován působením principu identity (symetrické vlnové funkce)
- BEC je „kondenzace v prostoru hybností“ , na rozdíl od zkapalnění klasických plynů, které vede ke vzniku kapek v reálném prostoru souřadnic.
- BEC nebyla vlastně nikdy pozorována, protože obyčejné fázové přechody nastávaly mnohem dříve. **Experimentální objev BEC má proto zásadní význam**
- I když nebereme „momentum condensation“ doslova, BEC vyvolává kvantovou koherenci mezi vzdálenými místy, tak jako obyčejná rovinná vlna
- BEC je **makroskopický kvantový jev** ve dvou ohledech:
  - ♠ korelace makroskopické frakce všech atomů
  - ♠ odpovídající koherence prochází celým makroskopicky rozlehlým vzorkem

BEC v atomových pastech

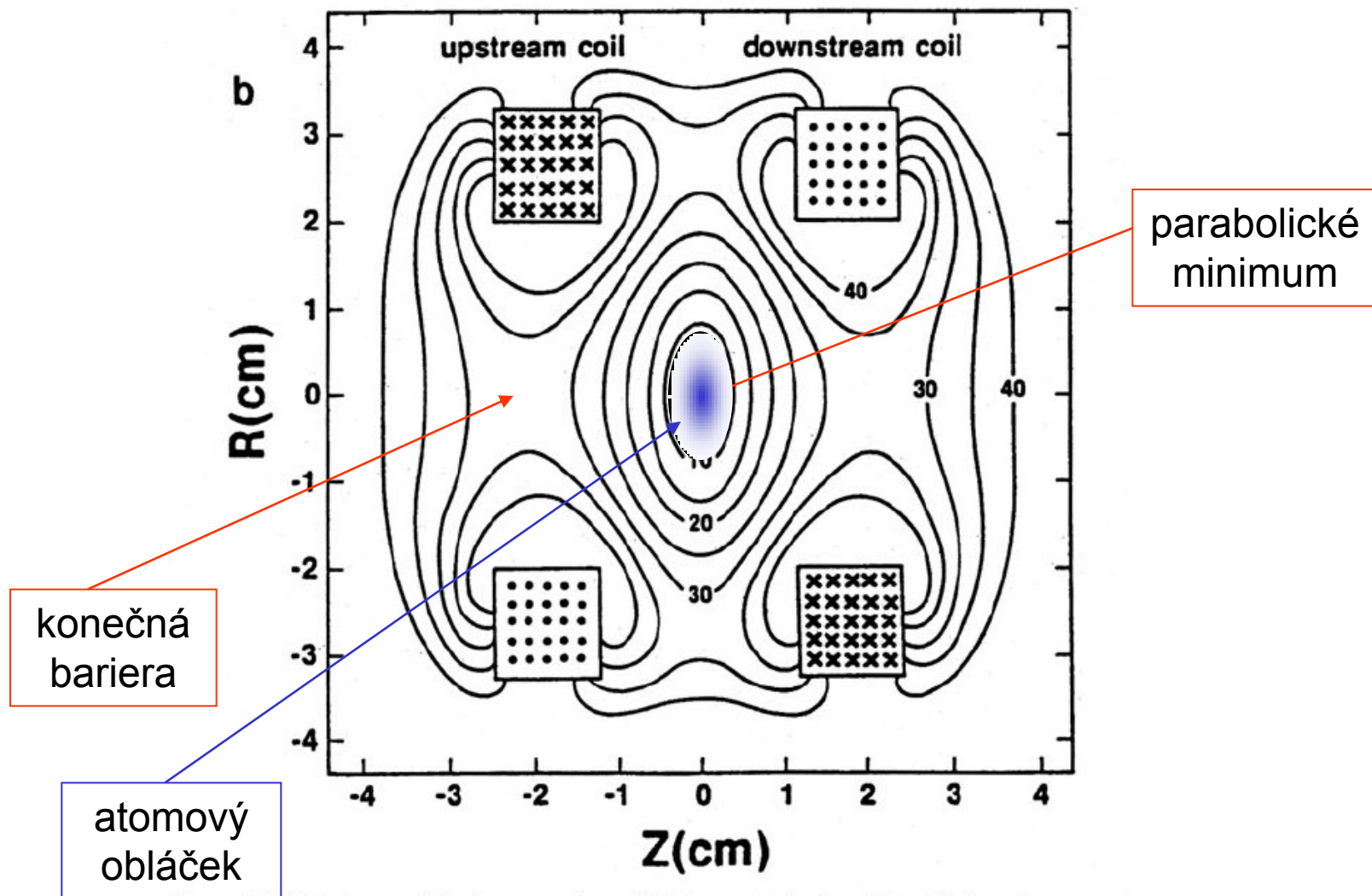
# Kvadrupólová magnetická past



# Kvadrupólová magnetická past

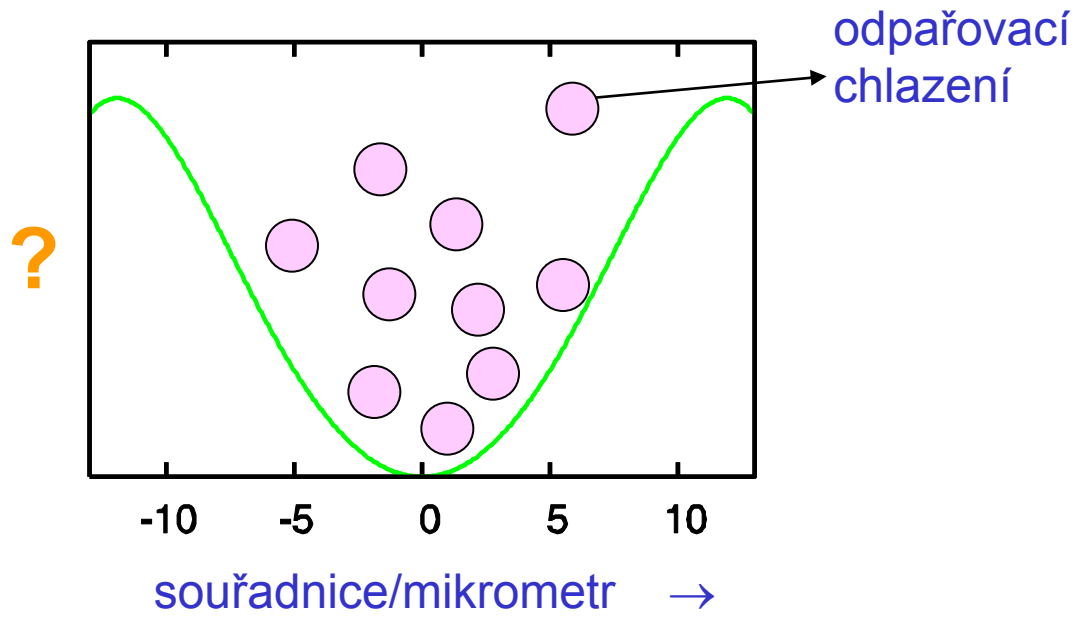


# Kvadrupólová magnetická past



# Potenciál pasti

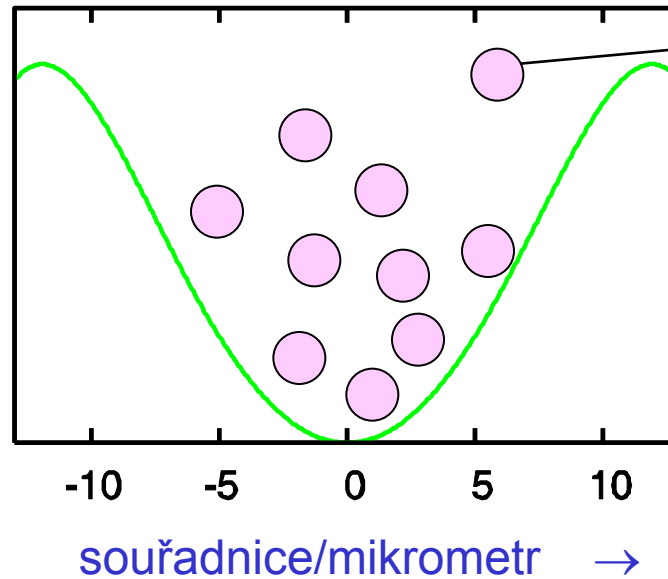
Typický profil



# Potenciál pasti

Typický profil

?

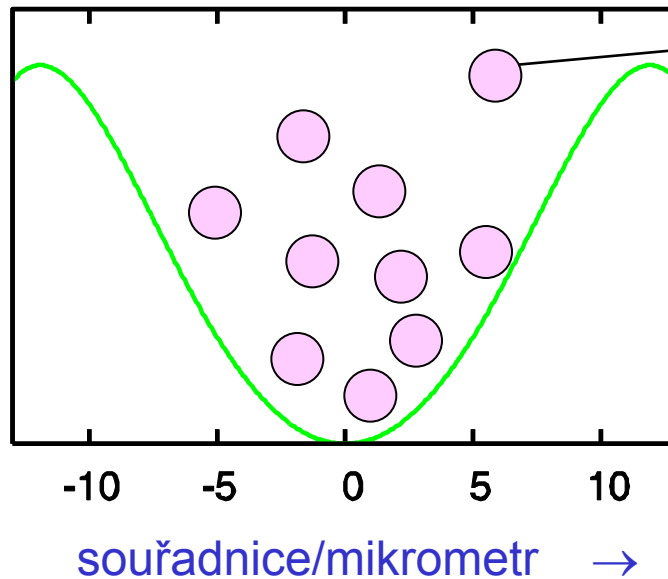


odpařovací  
chlazení ... to  
teprve sníží  
teplotu až ke  
kritické

# Potenciál pasti

Typický profil

?



odpařovací  
chlazení ... to  
teprve sníží  
teplotu až ke  
kritické

Jeden směr

past zpravidla 3D, tvaru protáhlého elipsoidu

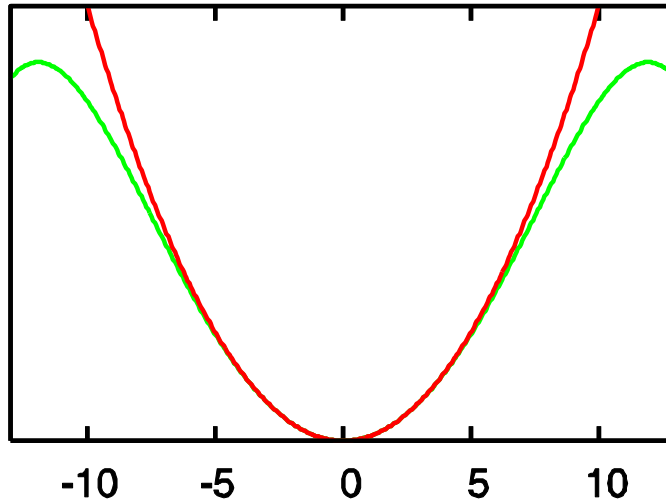
Pasti jsou z reálného světa, obláčky víceméně viditelné okem



# Potenciál pasti

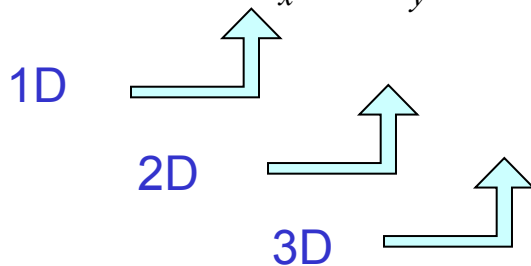
## Parabolická approximace

zpravidla anizotropní  
harmonický oscilátor  
s *axiální symetrií*



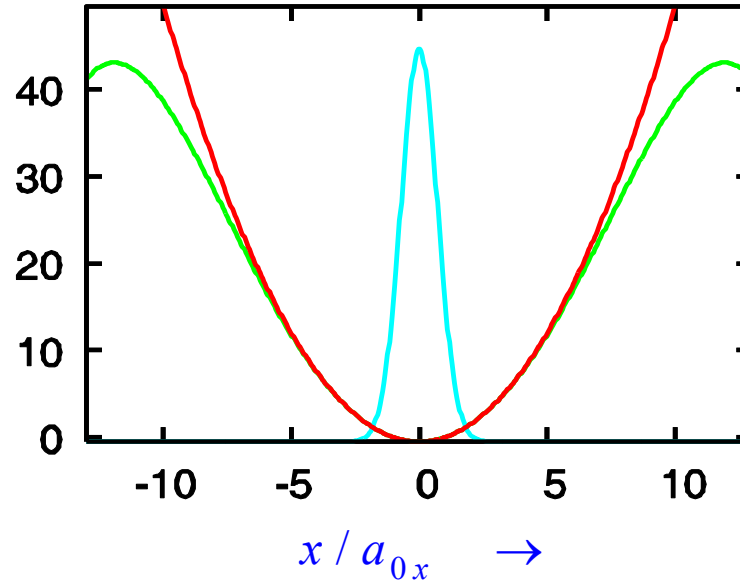
$$H = \frac{1}{2m} \mathbf{p}^2 + \frac{1}{2} m \omega_x^2 x^2 + \frac{1}{2} m \omega_y^2 y^2 + \frac{1}{2} m \omega_z^2 z^2$$

$$= H_x + H_y + H_z$$



# Základní stav a potenciál

číslo hladiny  
lineárního  
oscilátoru



200 nK

100 nK

$^{87}\text{Rb}$

$a_0 = 1 \mu\text{m}$

$\hbar$

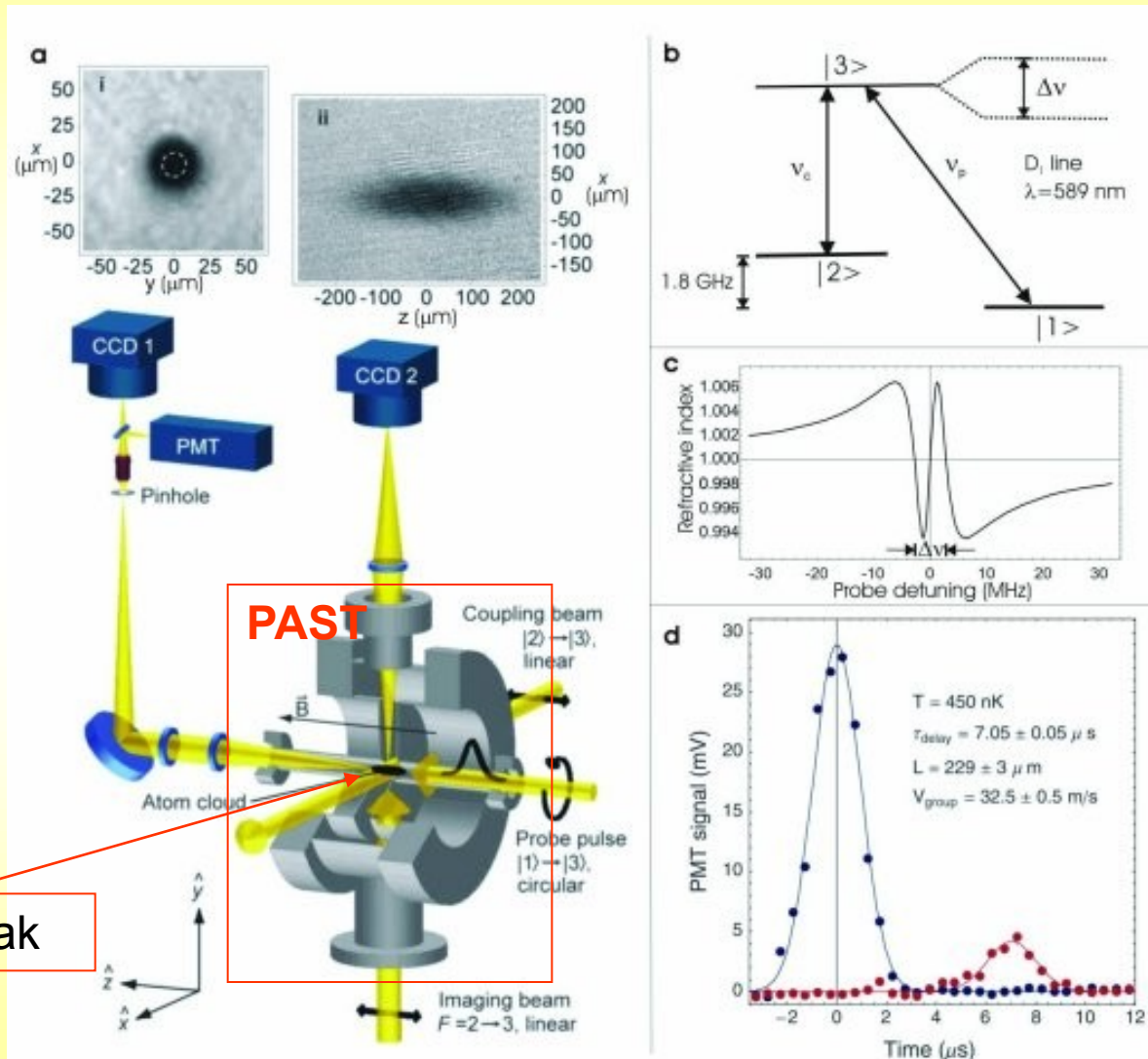
$N$

$$\psi_0(x, y, z) = \phi_{0x}(x) \phi_{0y}(y) \phi_{0z}(z)$$

$$\phi_0(u) = \frac{1}{\sqrt{a_0 \pi}} e^{-\frac{u^2}{2a_0^2}}, \quad a_0 = \sqrt{\frac{\hbar}{m\omega}}, \quad E_0 = -\frac{\hbar}{2} \quad \frac{\hbar}{m a_0^2} = \frac{\hbar}{2} \cdot \frac{\hbar}{M u_m a_0^2}$$

$$V(u) = \frac{1}{2} m \omega^2 u^2 = \frac{1}{2} \hbar \left( \frac{u}{a_0} \right)^2$$

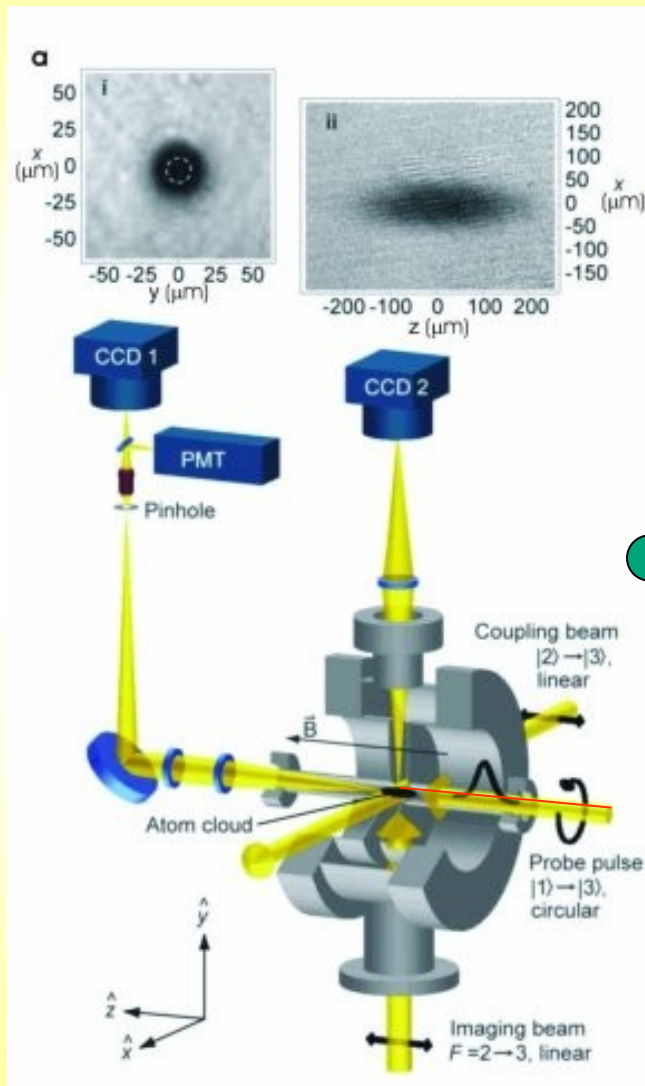
# Ukázka: Pomalé světlo ve studených parách sodíku



Na oblak

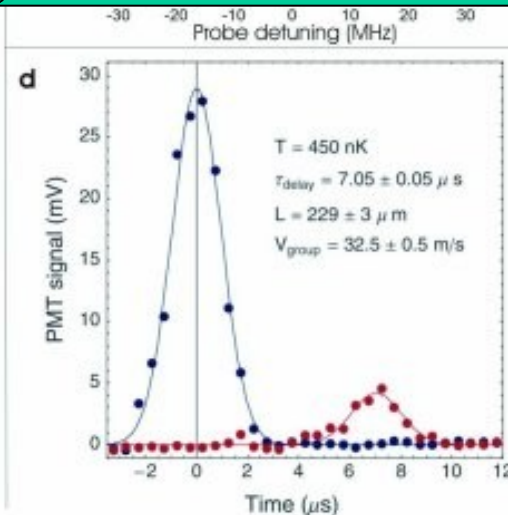
Intermezzo:  
zpomalené světlo

# Pomalé světlo ve studených parách sodíku

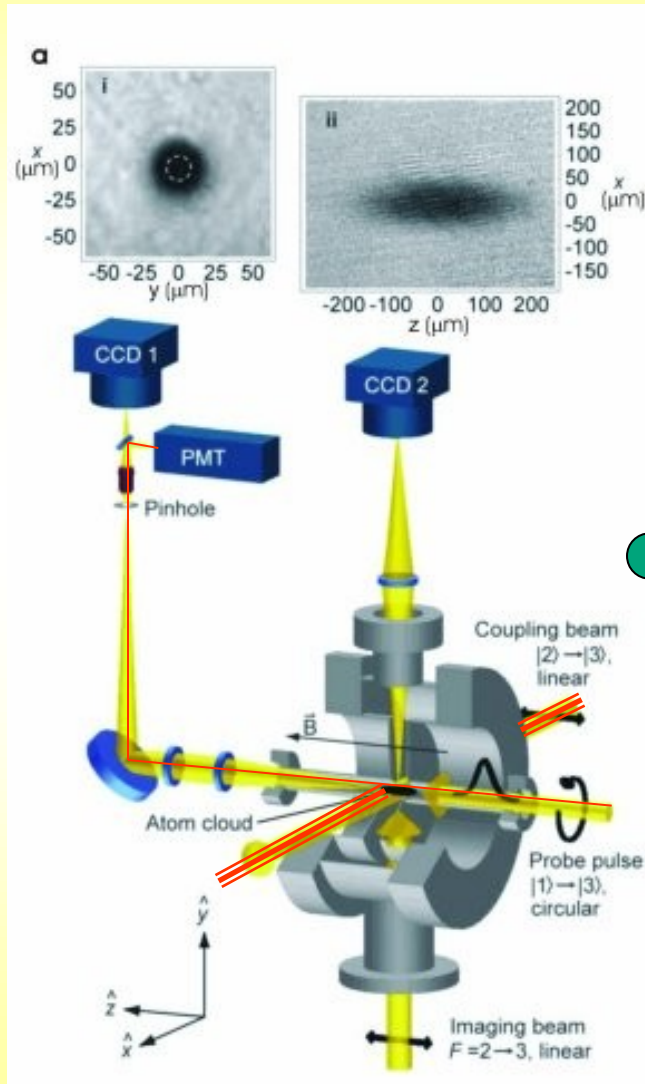


## ZPOMALENÍ SVĚTLA V ATOMOVÉM OBLAKU

- pro  $D$  čáru je obláček opakní

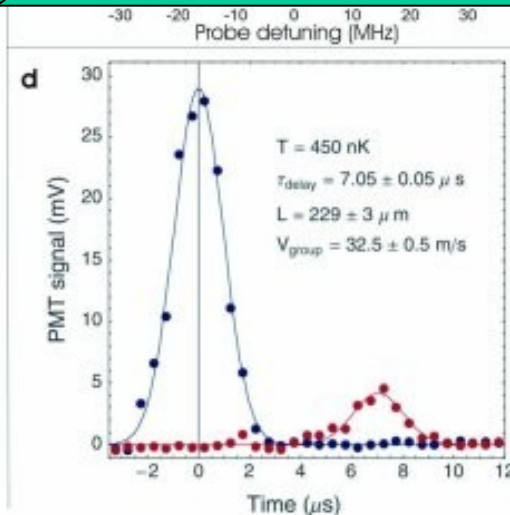


# Pomalé světlo ve studených parách sodíku

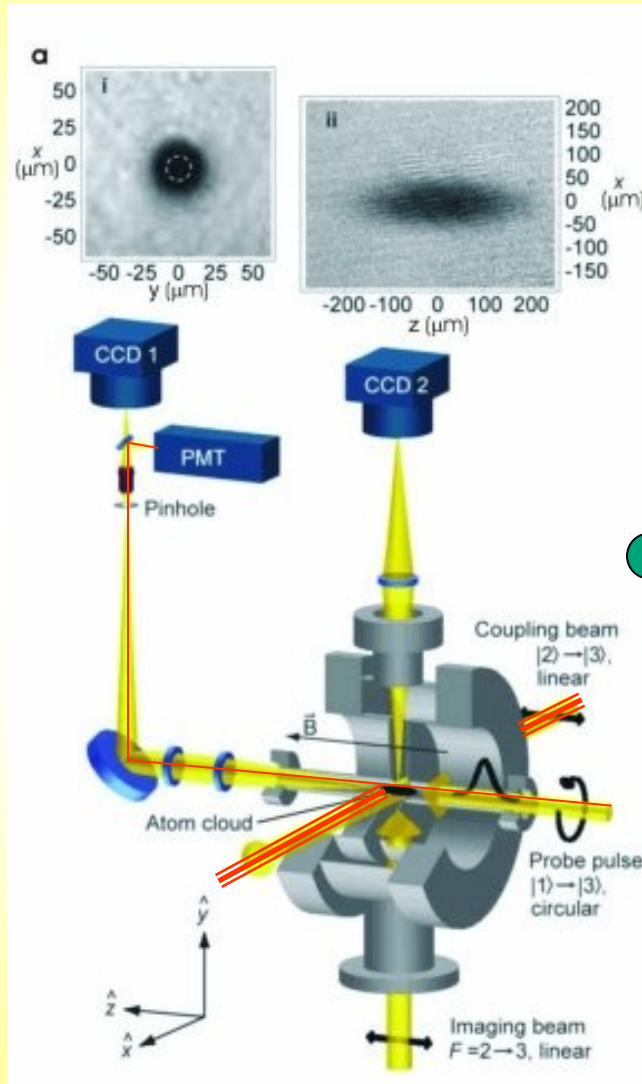


## ZPOMALENÍ SVĚTLA V ATOMOVÉM OBLAKU

- pro  $D$  čáru je obláček opakní
- coupling laser způsobí *EIT*  
*Electromagnetically Induced Transparency*

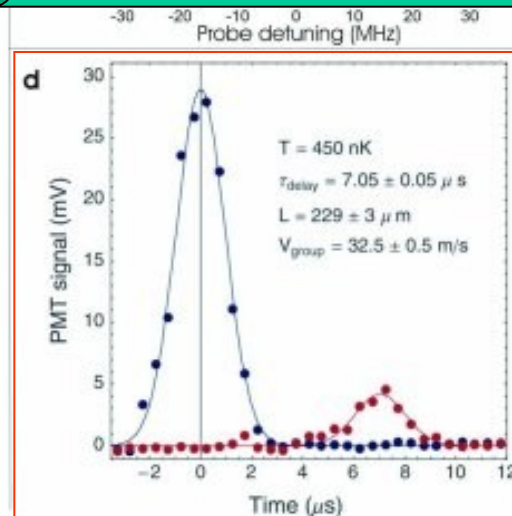


# Pomalé světlo ve studených parách sodíku



## ZPOMALENÍ SVĚTLA V ATOMOVÉM OBLAKU

- pro  $D$  čáru je obláček opakní
- coupling laser způsobí *EIT*  
*Electromagnetically Induced Transparency*
- průchod světelného pulsu je ale zpomalen



# 1999

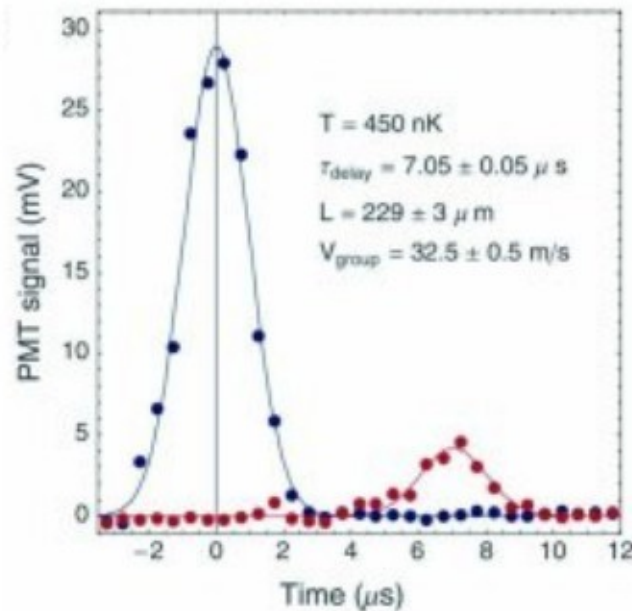
1999 - Nature 18 Feb.,(Vol.397, p.594)

*L.V.Hau, S.E.Harris, Z.Dutton, C.H.Behrozi*

**Light speed reduction to 17 metres per second in an ultracold atomic gas**

Na - atomy,  $T = 450$  nK (15 nK nad  $T_c$ ), 17 m/s (32 m/s)

sodíková  
D-čára





# 1999

1999 - Nature 18 Feb.,(Vol.397, p.594)

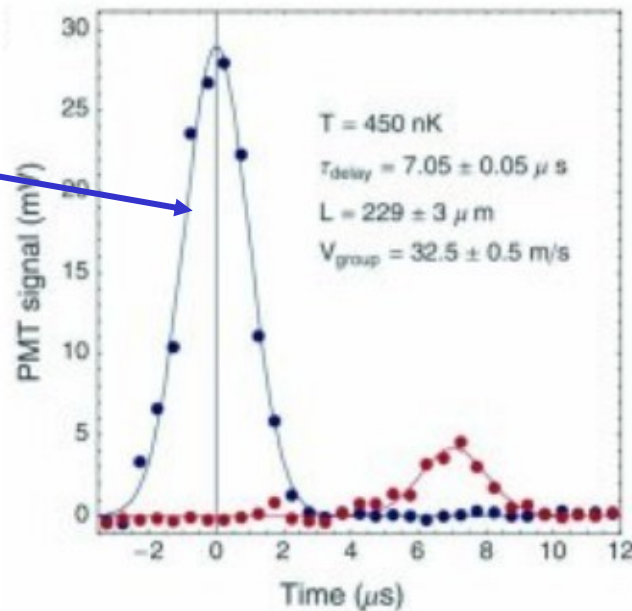
*L.V.Hau, S.E.Harris, Z.Dutton, C.H.Behrozi*

**Light speed reduction to 17 metres per second in an ultracold atomic gas**

Na atomy,  $T = 450$  nK (15 nK nad  $T_c$ ), 17 m/s (32 m/s)

obálka  
pulsu na  
vstupu

sodíková  
D-čára



# 1999

1999 - Nature 18 Feb.,(Vol.397, p.594)

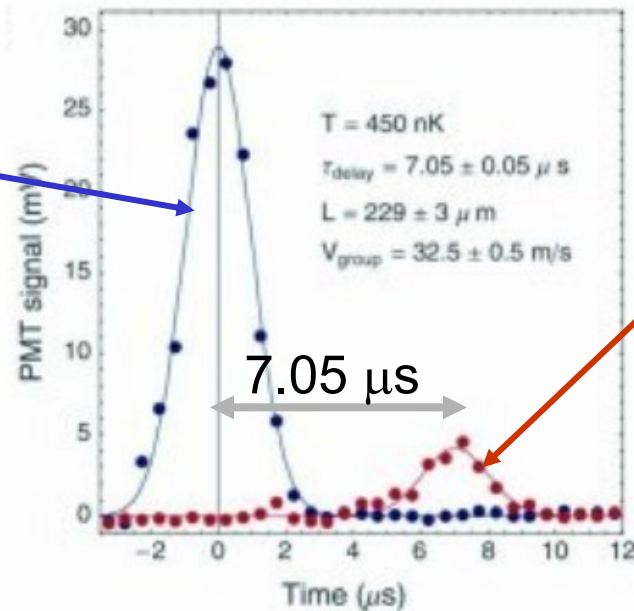
*L.V.Hau, S.E.Harris, Z.Dutton, C.H.Behrozi*

**Light speed reduction to 17 metres per second in an ultracold atomic gas**

Na atoms,  $T = 450$  nK (15 nK nad  $T_c$ ), 17 m/s (32 m/s)

obálka pulsu na vstupu

sodíková D-čára



obálka pulsu na výstupu

# 1999

1999 - Nature 18 Feb.,(Vol.397, p.594)

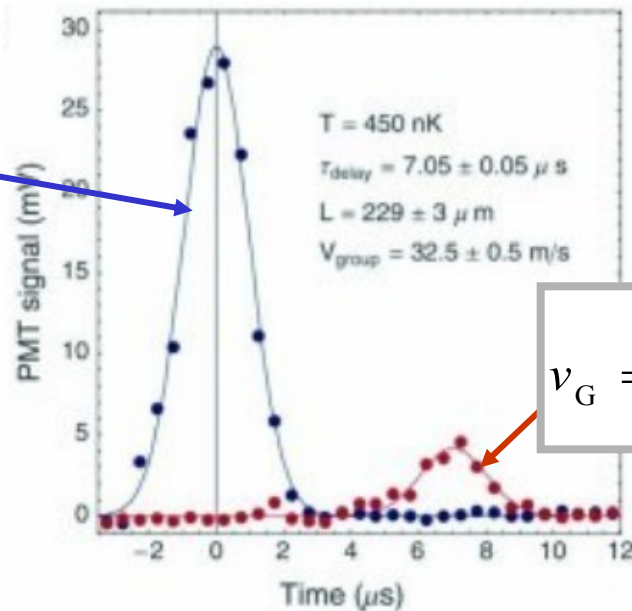
*L.V.Hau, S.E.Harris, Z.Dutton, C.H.Behrozi*

**Light speed reduction to 17 metres per second in an ultracold atomic gas**

Na atomy,  $T = 450$  nK (15 nK nad  $T_c$ ), 17 m/s (32 m/s)

obálka pulsu na vstupu

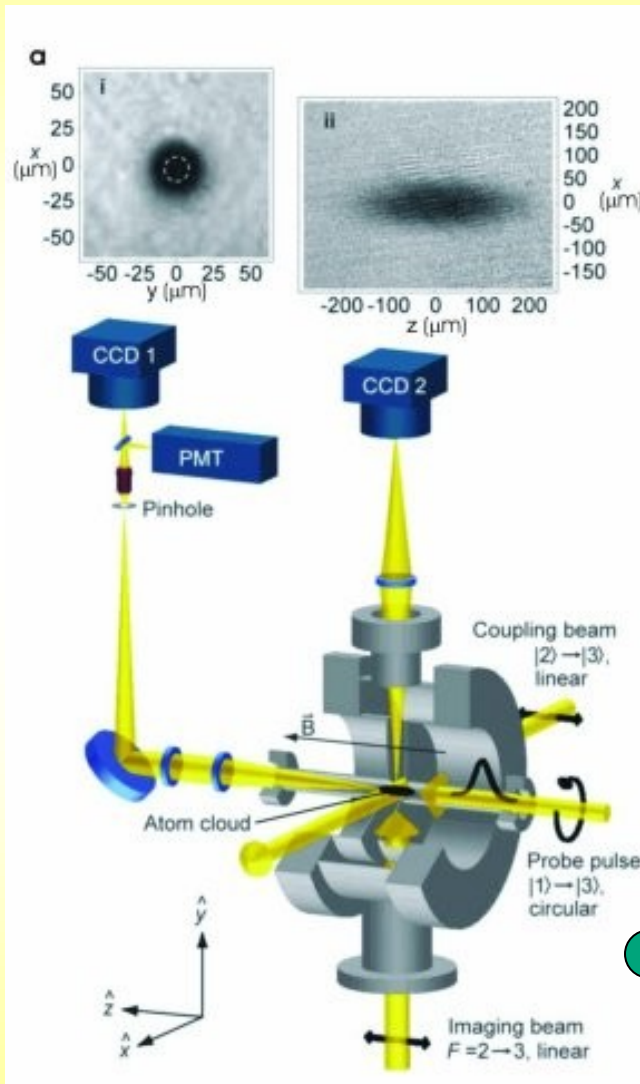
sodíková D-čára



obálka pulsu na výstupu

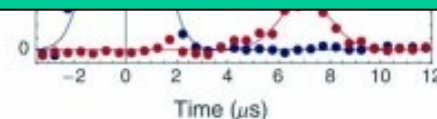
$$v_G = \frac{229 \times 10^{-6} \text{ m}}{7.05 \times 10^{-6} \text{ s}} = 32.5 \text{ m s}^{-1}$$

# Podrobnosti o studených parách sodíku v pasti



## OBLAK STUDENÝCH SODÍKOVÝCH ATOMŮ

- oblaček je *makroskopický*
- vidíme *tepelné rozdělení*
- cigárový tvar: *protažený rotační elipsoid*
- difusní obrysy: *Maxwellovo–Boltzmannovo rozdělení*
- *prostorová hustota v parabolickém potenciálu*



## *Hustota částic v prostoru: I. Boltzmannova limita*

Aproximace skutečného rozdělení Boltzmannovou limitou  
(pro vysoké teploty, hodně částic)

$$f_B(\mathbf{r}, \mathbf{p}) = e^{\beta(\mu - W - U(\mathbf{r}))}$$

$$n_{\text{THERM}}(\mathbf{r}) = \int d^3 \mathbf{p} \cdot f_B(\mathbf{r}, \mathbf{p})$$

$$\propto e^{-\beta U(\mathbf{r})}$$

$$= e^{-\frac{1}{2}\beta m (\omega_x^2 x^2 + \omega_y^2 y^2 + \omega_z^2 z^2)}$$

# Hustota částic v prostoru: I. Boltzmannova limita

Aproximace skutečného rozdělení Boltzmannovou limitou  
(pro vysoké teploty, hodně částic)

$$\begin{aligned}f_B(\mathbf{r}, \mathbf{p}) &= e^{\beta(\mu - W - U(\mathbf{r}))} \\n_{\text{THERM}}(\mathbf{r}) &= \int d^3 \mathbf{p} \cdot f_B(\mathbf{r}, \mathbf{p}) \\&\propto e^{-\beta U(\mathbf{r})} \\&= e^{-\frac{1}{2}\beta m (\omega_x^2 x^2 + \omega_y^2 y^2 + \omega_z^2 z^2)}\end{aligned}$$

Vzpomínka na Perrina a  
barometrickou formuli

## Hustota částic v prostoru: II. BE kondensát při $T = 0$

Částice kondensátu jsou všechny v základním stavu

$$\begin{aligned} n_{\text{BEC}}(\mathbf{r}) &= \left| \phi_{0x}(x) \right|^2 \left| \phi_{0y}(y) \right|^2 \left| \phi_{0z}(z) \right|^2 \frac{1}{e^{-\beta\mu} - 1} \\ &= \frac{1}{a_{0x} a_{0y} a_{0z} \pi^3} e^{-\frac{x^2}{a_{0x}^2} - \frac{y^2}{a_{0y}^2} - \frac{z^2}{a_{0z}^2}} \frac{1}{e^{-\beta\mu} - 1} \end{aligned}$$

## Hustota částic v prostoru: II. BE kondensát při $T = 0$

Částice kondensátu jsou všechny v základním stavu

$$n_{\text{BEC}}(\mathbf{r}) = |\phi_{0x}(x)|^2 |\phi_{0y}(y)|^2 |\phi_{0z}(z)|^2 \frac{1}{e^{-\beta\mu} - 1}$$

$$= \frac{1}{a_{0x} a_{0y} a_{0z} \pi^3} e^{-\frac{x^2}{a_{0x}^2} - \frac{y^2}{a_{0y}^2} - \frac{z^2}{a_{0z}^2}}$$

$$\frac{1}{e^{-\beta\mu} - 1}$$

$\rightarrow N$  při  $T \rightarrow 0$



## Hustota částic v prostoru: III. srovnání obou limit

Aproximace skutečného rozdělení Boltzmannovou limitou  
(pro vysoké teploty, hodně částic)

$$\begin{aligned}f_B(\mathbf{r}, \mathbf{p}) &= e^{\beta(\mu - W - U(\mathbf{r}))} \\n_{\text{THERM}}(\mathbf{r}) &= \int d^3 \mathbf{p} \cdot f_B(\mathbf{r}, \mathbf{p}) \\&\propto e^{-\beta U(\mathbf{r})} \\&= e^{-\frac{1}{2}\beta m (\omega_x^2 x^2 + \omega_y^2 y^2 + \omega_z^2 z^2)}\end{aligned}$$

Částice kondensátu jsou všechny v základním stavu

$$\begin{aligned}n_{\text{BEC}}(\mathbf{r}) &= \left| \phi_{0x}(x) \right|^2 \left| \phi_{0y}(y) \right|^2 \left| \phi_{0z}(z) \right|^2 \frac{1}{e^{-\beta\mu} - 1} \\&= \frac{1}{a_{0x} a_{0y} a_{0z} \pi^3} e^{-\frac{x^2}{a_{0x}^2} - \frac{y^2}{a_{0y}^2} - \frac{z^2}{a_{0z}^2}} \frac{1}{e^{-\beta\mu} - 1}\end{aligned}$$

# BE kondensát při $T = 0$ a makroskopická vlnová funkce

Částice kondensátu jsou všechny v základním stavu

$$\begin{aligned}n_{\text{BEC}}(\mathbf{r}) &= N \cdot |\phi_{0x}(x)|^2 |\phi_{0y}(y)|^2 |\phi_{0z}(z)|^2 \\ &= \frac{N}{a_{0x} a_{0y} a_{0z} \pi^3} e^{-\frac{x^2}{a_{0x}^2} - \frac{y^2}{a_{0y}^2} - \frac{z^2}{a_{0z}^2}} \\ &= N \varphi^*(\mathbf{r}) \varphi(\mathbf{r}) \equiv \Psi^*(\mathbf{r}) \Psi(\mathbf{r})\end{aligned}$$

$$\Psi(\mathbf{r}) = \sqrt{N} \varphi(\mathbf{r}) e^{i\Phi} \equiv \sqrt{N} \sqrt{n(\mathbf{r})} e^{i\Phi}$$

Jediná vlnová funkce normovaná ne na 1, ale na  $N$ , popisuje chování kondensátu ... **extrémní koherence** ("zpívají unisono")

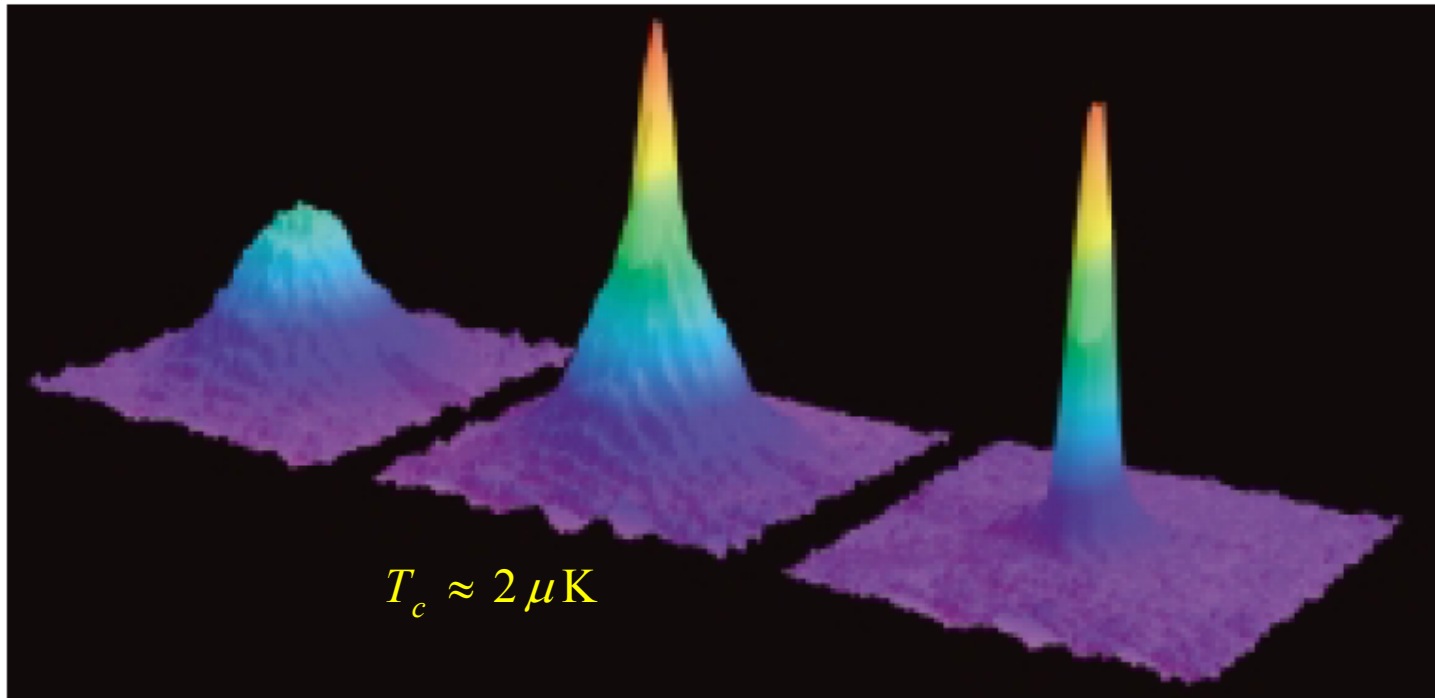
ALE → → →

## F.Laloë: Do we really understand Quantum mechanics, Am.J.Phys.**69**, 655 (2001)

In passing, and as a side remark, it is amusing to notice that the recent observation of the phenomenon of Bose–Einstein condensation in dilute gases (Ref. 25) can be seen, in a sense, as a sort of realization of the initial hope of Schrödinger: This condensation provides a case where the many-particle matter wave does propagate in ordinary space. Before condensation takes place, we have the usual situation: The atoms belong to a degenerate quantum gas, which has to be described by wave functions defined in a huge configuration space. But, when they are completely condensed, they are restricted to a much simpler many-particle state that can be described by the same wave function, exactly as a single particle. In other words, the matter wave becomes similar to a classical field with two components (the real part and the imaginary part of the wave function), resembling an ordinary sound wave for instance. This illustrates why, somewhat paradoxically, the “exciting new states of matter” provided by Bose–Einstein condensates are not an example of an extreme quantum situation; they are actually more classical than the gases from which they originate (in terms of quantum description, interparticle correlations, etc.). Conceptually, of course, this remains a very special case and does not solve the general problem associated with a naive view of the Schrödinger waves as real waves.

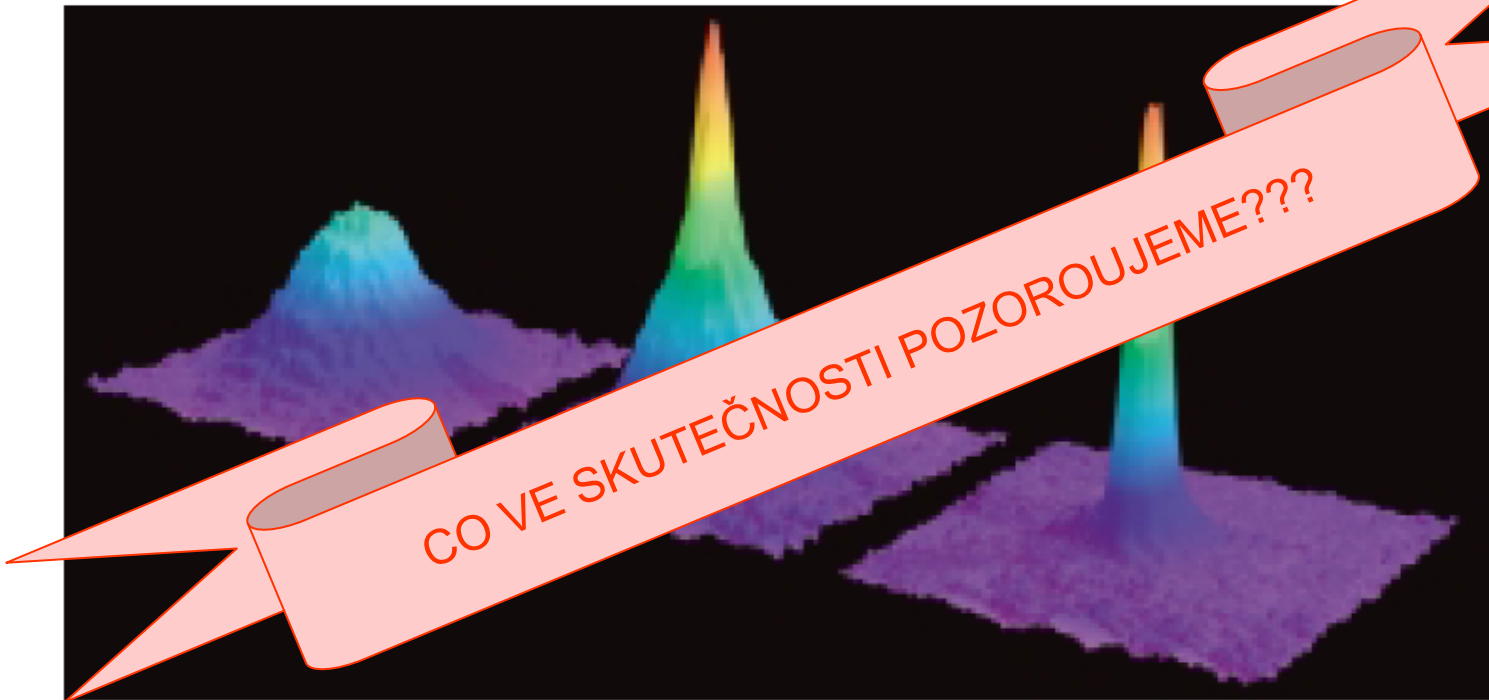
Studium BEC metodou TOF  
( time of flight -- doby letu)

## *BEC pozorovaná metodou TOF*



*Figure 7.* Observation of Bose-Einstein condensation by absorption imaging. Shown is absorption vs. two spatial dimensions. The Bose-Einstein condensate is characterized by its slow expansion observed after 6 ms time-of-flight. The left picture shows an expanding cloud cooled to just above the transition point; middle: just after the condensate appeared; right: after further evaporative cooling has left an almost pure condensate. The total number of atoms at the phase transition is about  $7 \times 10^5$ , the temperature at the transition point is  $2 \mu\text{K}$ .

## *BEC pozorovaná metodou TOF*



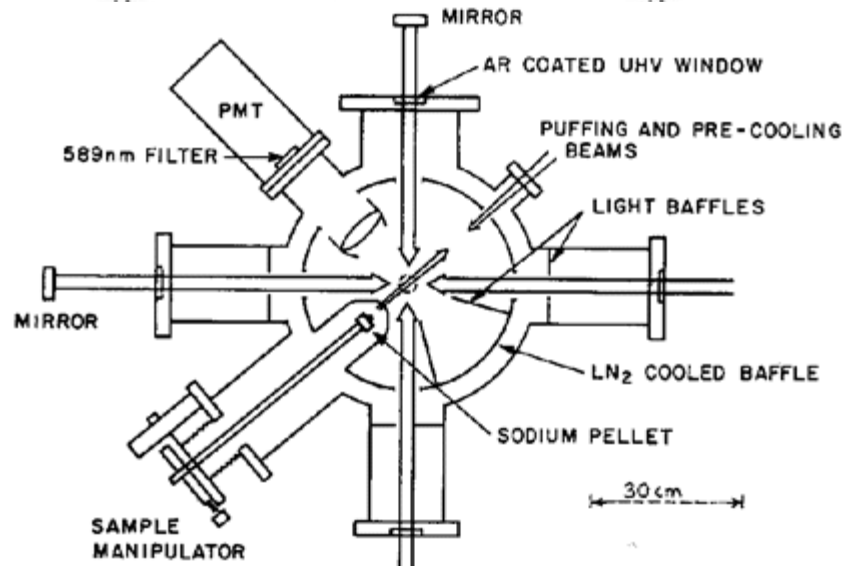
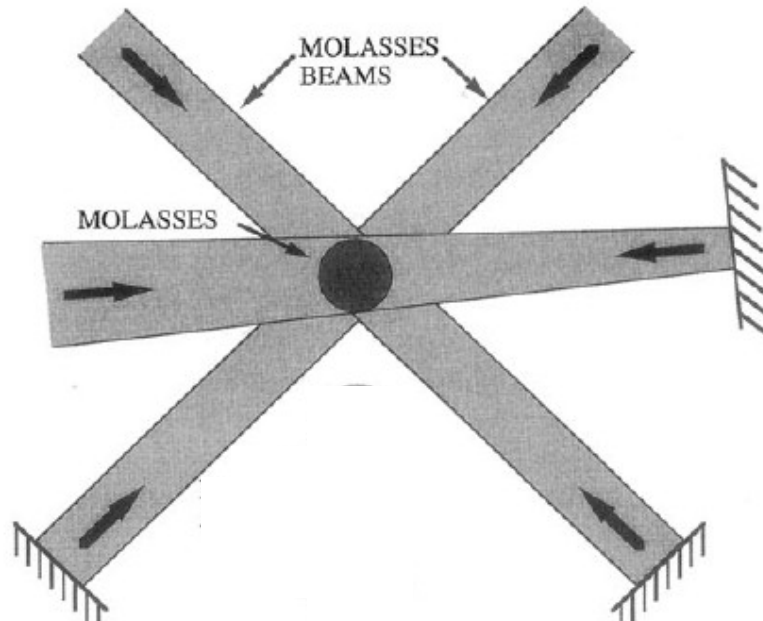
*Figure 7.* Observation of Bose-Einstein condensation by absorption imaging. Shown is absorption vs. two spatial dimensions. The Bose-Einstein condensate is characterized by its slow expansion observed after 6 ms time-of-flight. The left picture shows an expanding cloud cooled to just above the transition point; middle: just after the condensate appeared; right: after further evaporative cooling has left an almost pure condensate. The total number of atoms at the phase transition is about  $7 \times 10^5$ , the temperature at the transition point is  $2 \mu\text{K}$ .

# Tři zkřížené svazky: 3D Dopplerovo chlazení podle Chu

je třeba 20 000 fotonů  
k zastavení z pokojové  
teploty

brzdná síla je pak  
úměrná rychlosti:  
viskózní prostředí,  
„syrup“

Pro intenzivní laser je  
to otázka milisekund

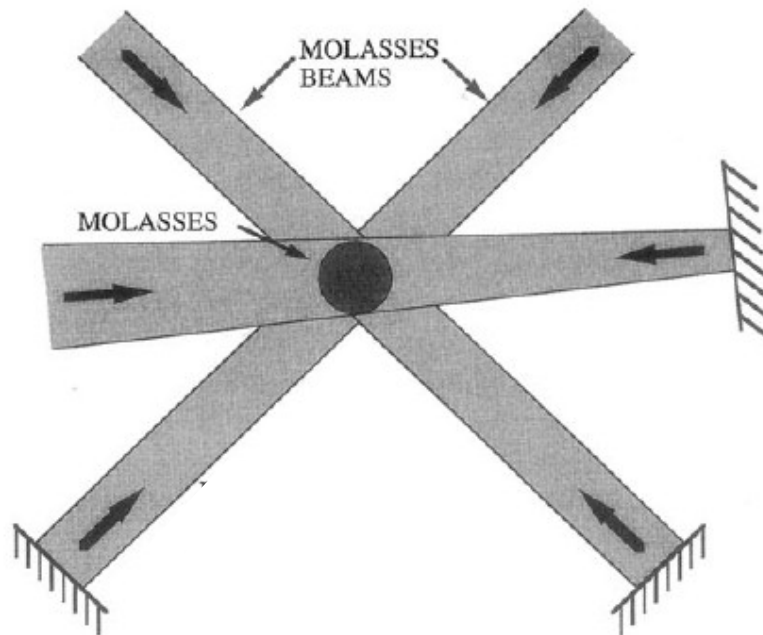


## *TOF experiment: příprava oblaku*

20 000 fotonů je třeba  
k zastavení atomu z  
pokojové teploty

brzdná síla úměrná  
rychlosti, připomíná  
viskosní prostředí,  
"sirup"

Pro silné lasery  
záležitost milisekund





## *TOF experiment: fáze balistického rozletu oblaku*

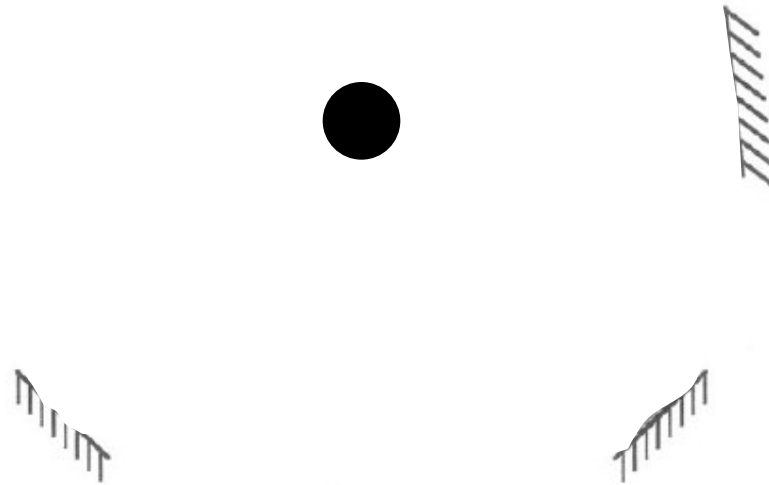
20 000 fotonů je třeba  
k zastavení atomu z  
pokojové teploty

brzdná síla úměrná  
rychlosti, připomíná  
viskosní prostředí,  
"sirup"

Pro silné lasery  
záležitost milisekund

měření tepelného  
rozdělení: vypneme  
lasery. Atomy klesají v  
tíhovém poli

Zároveň se rozletují  
balistickým způsobem



## *TOF experiment: fáze balistického rozletu oblaku*

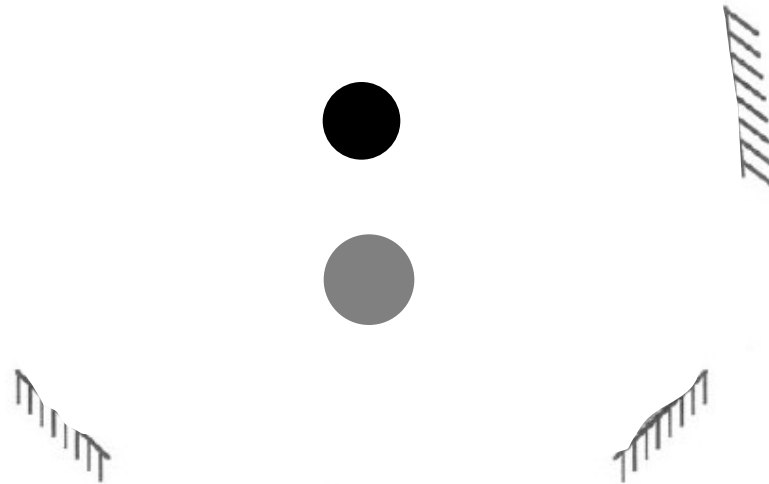
20 000 fotonů je třeba  
k zastavení atomu z  
pokojové teploty

brzdná síla úměrná  
rychlosti, připomíná  
viskosní prostředí,  
"sirup"

Pro silné lasery  
záležitost milisekund

měření tepelného  
rozdělení: vypneme  
lasery. Atomy klesají v  
tíhovém poli

Zároveň se rozletují  
balistickým způsobem



# *TOF experiment: fáze balistického rozletu oblaku*

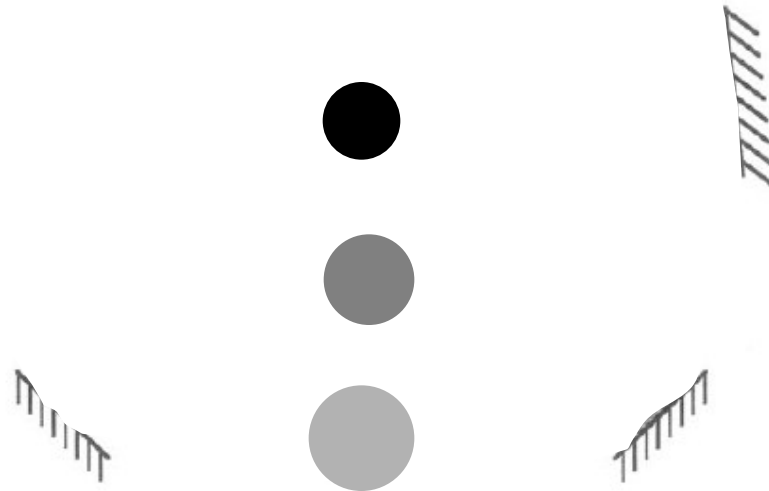
20 000 fotonů je třeba  
k zastavení atomu z  
pokojové teploty

brzdná síla úměrná  
rychlosti, připomíná  
viskosní prostředí,  
"sirup"

Pro silné lasery  
záležitost milisekund

měření tepelného  
rozdělení: vypneme  
lasery. Atomy klesají v  
tíhovém poli

Zároveň se rozletují  
balistickým způsobem



# TOF experiment: měření distribuce (hybností)

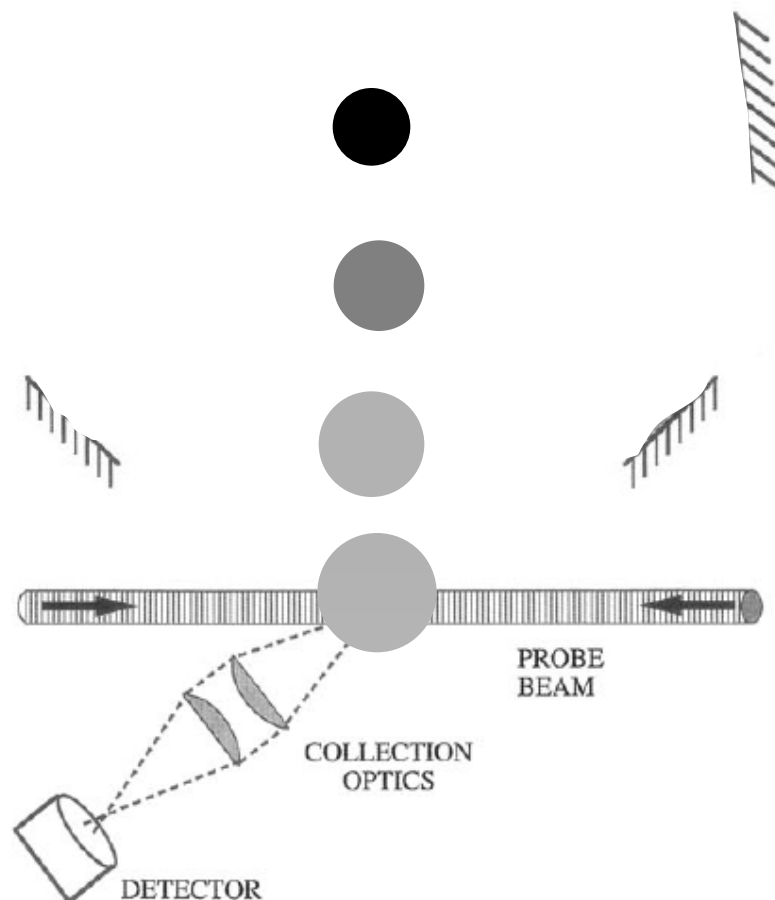
20 000 fotonů je třeba  
k zastavení atomu z  
pokojové teploty

brzdná síla úměrná  
rychlosti, připomíná  
viskosní prostředí,  
"sirup"

Pro silné lasery  
záležitost milisekund

měření tepelného  
rozdělení: vypneme  
lasery. Atomy klesají v  
tíhovém poli

Zároveň se rozletují  
balistickým způsobem



sondovací laserový  
svazek vyvolá  
fluorescenci atomů

z tvaru a velikosti  
obláčku je určeno  
rychlostní rozdělení

## Rozdělení rychlostí (hybností) v oblaku

Vysokoteplotní rozdělení aproximujeme klasickým rozdělením

Boltzmannovo rozdělení v poli pasti:

$$\begin{aligned} f_B(\mathbf{r}, \mathbf{p}) &= e^{\beta(\mu - W - U(\mathbf{r}))} \\ f_{\text{THERM}}(\mathbf{p}) &= \int d^3 \mathbf{r} \cdot f_B(\mathbf{r}, \mathbf{p}) \\ &\propto e^{-\beta W} \\ &= e^{-\frac{1}{2} \beta m^{-1} (p_x^2 + p_y^2 + p_z^2)} \end{aligned}$$

## Rozdělení rychlostí (hybností) v oblaku

Vysokoteplotní rozdělení aproximujeme klasickým rozdělením

Boltzmannovo rozdělení v poli pasti:

$$\begin{aligned}f_B(\mathbf{r}, \mathbf{p}) &= e^{\beta(\mu - W - U(\mathbf{r}))} \\f_{\text{THERM}}(\mathbf{p}) &= \int d^3 \mathbf{r} \cdot f_B(\mathbf{r}, \mathbf{p}) \\&\propto e^{-\beta W} \\&= e^{-\frac{1}{2}\beta m^{-1}(p_x^2 + p_y^2 + p_z^2)}\end{aligned}$$

Vlnová funkce kondensátu v impulsové reprezentaci – také "Gaussovka"

$$\begin{aligned}f_{\text{BEC}}(\mathbf{p}) &= \left| \tilde{\phi}_{0x}(p_x) \right| \left| \tilde{\phi}_{0y}(p_y) \right| \left| \tilde{\phi}_{0z}(p_z) \right| \frac{1}{e^{-\beta\mu} - 1} \\&\propto e^{-\frac{p_x^2}{b_{0x}^2} - \frac{p_y^2}{b_{0y}^2} - \frac{p_z^2}{b_{0z}^2}} \frac{1}{e^{-\beta\mu} - 1}, \quad \boxed{b_{0w} = \frac{\hbar}{a_{0w}}}\end{aligned}$$

# Rozdělení rychlostí (hybností) v oblaku

Vysokoteplotní rozdělení aproximujeme klasickým rozdělením

Boltzmannovo rozdělení v poli pasti:

$$f_B(\mathbf{r}, \mathbf{p}) = e^{\beta(\mu - W - U(\mathbf{r}))}$$

$$f_{\text{THERM}}(\mathbf{p}) = \int d^3 \mathbf{r} \cdot f_B(\mathbf{r}, \mathbf{p})$$

$$\propto e^{-\beta W}$$

$$= e^{-\frac{1}{2}\beta m^{-1}(p_x^2 + p_y^2 + p_z^2)}$$

isotropní

Vlnová funkce kondensátu v impulsové reprezentaci – také "Gaussovka"

$$f_{\text{BEC}}(\mathbf{p}) = \left| \tilde{\phi}_{0x}(p_x) \right| \left| \tilde{\phi}_{0y}(p_y) \right| \left| \tilde{\phi}_{0z}(p_z) \right| \frac{1}{e^{-\beta\mu} - 1}$$

$$\propto e^{-\frac{p_x^2}{b_{0x}^2} - \frac{p_y^2}{b_{0y}^2} - \frac{p_z^2}{b_{0z}^2}} \frac{1}{e^{-\beta\mu} - 1}, \quad b_{0w} = \frac{\hbar}{a_{0w}}$$

anisotropní

# Rozdělení rychlostí (hybností) v oblaku

Vysokoteplotní rozdělení aproximujeme klasickým rozdělením

Boltzmannovo rozdělení v poli pasti:

$$f_B(\mathbf{r}, \mathbf{p}) = e^{\beta(\mu - W - U(\mathbf{r}))}$$

$$f_{\text{THERM}}(\mathbf{p}) = \int d^3 \mathbf{r} \cdot f_B(\mathbf{r}, \mathbf{p})$$

$$\propto e^{-\beta W}$$

$$= e^{-\frac{1}{2} \beta m^{-1} (p_x^2 + p_y^2 + p_z^2)}$$

isotropní

Dvojí přímo měřitelné charakteristické délky

$$b_0 = (b_{0x} b_{0y} b_{0z})^{\frac{1}{3}} = \frac{\hbar}{a_0}$$

$$B_T = \sqrt{m / \beta}$$

$$= b_0 \sqrt{k_B T / \hbar}$$

Vlnová funkce kondensátu v impulsové reprezentaci – také "Gaussovka"

$$f_{\text{BEC}}(\mathbf{p}) = |\tilde{\phi}_{0x}(p_x)| |\tilde{\phi}_{0y}(p_y)| |\tilde{\phi}_{0z}(p_z)| \frac{1}{e^{-\beta\mu} - 1}$$

$$\propto e^{-\frac{p_x^2}{b_{0x}^2} - \frac{p_y^2}{b_{0y}^2} - \frac{p_z^2}{b_{0z}^2}} \frac{1}{e^{-\beta\mu} - 1}, \quad b_{0w} = \frac{\hbar}{a_{0w}}$$

anisotropní



# Rozdělení rychlostí (hybností) v oblaku

Vysokoteplotní rozdělení aproximujeme klasickým rozdělením

Boltzmannovo rozdělení v poli pasti:

$$f_B(\mathbf{r}, \mathbf{p}) = e^{\beta(\mu - W - U(\mathbf{r}))}$$

$$f_{\text{THERM}}(\mathbf{p}) = \int d^3 \mathbf{r} \cdot f_B(\mathbf{r}, \mathbf{p})$$

$$\propto e^{-\beta W}$$

$$= e^{-\frac{1}{2} \beta m^{-1} (p_x^2 + p_y^2 + p_z^2)}$$

isotropní

$$a_0 = \sqrt{\frac{\hbar}{m \omega}} \Rightarrow \sqrt{m} = \frac{\hbar}{a_0} \sqrt{\frac{1}{\hbar}}$$

$$b_0 = (b_{0x} b_{0y} b_{0z})^{\frac{1}{3}} = \frac{\hbar}{a_0}$$

$$B_T = \sqrt{m / \beta}$$

$$= b_0 \sqrt{k_B T / \hbar}$$

Vlnová funkce kondensátu v impulsové reprezentaci – také "Gaussovka"

$$f_{\text{BEC}}(\mathbf{p}) = |\tilde{\phi}_{0x}(p_x)| |\tilde{\phi}_{0y}(p_y)| |\tilde{\phi}_{0z}(p_z)| \frac{1}{e^{-\beta\mu} - 1}$$

$$\propto e^{-\frac{p_x^2}{b_{0x}^2} - \frac{p_y^2}{b_{0y}^2} - \frac{p_z^2}{b_{0z}^2}} \frac{1}{e^{-\beta\mu} - 1}, \quad b_{0w} = \frac{\hbar}{a_{0w}}$$

anisotropní

# BEC pozorovaná v rozdělení rychlostí metodou TOF

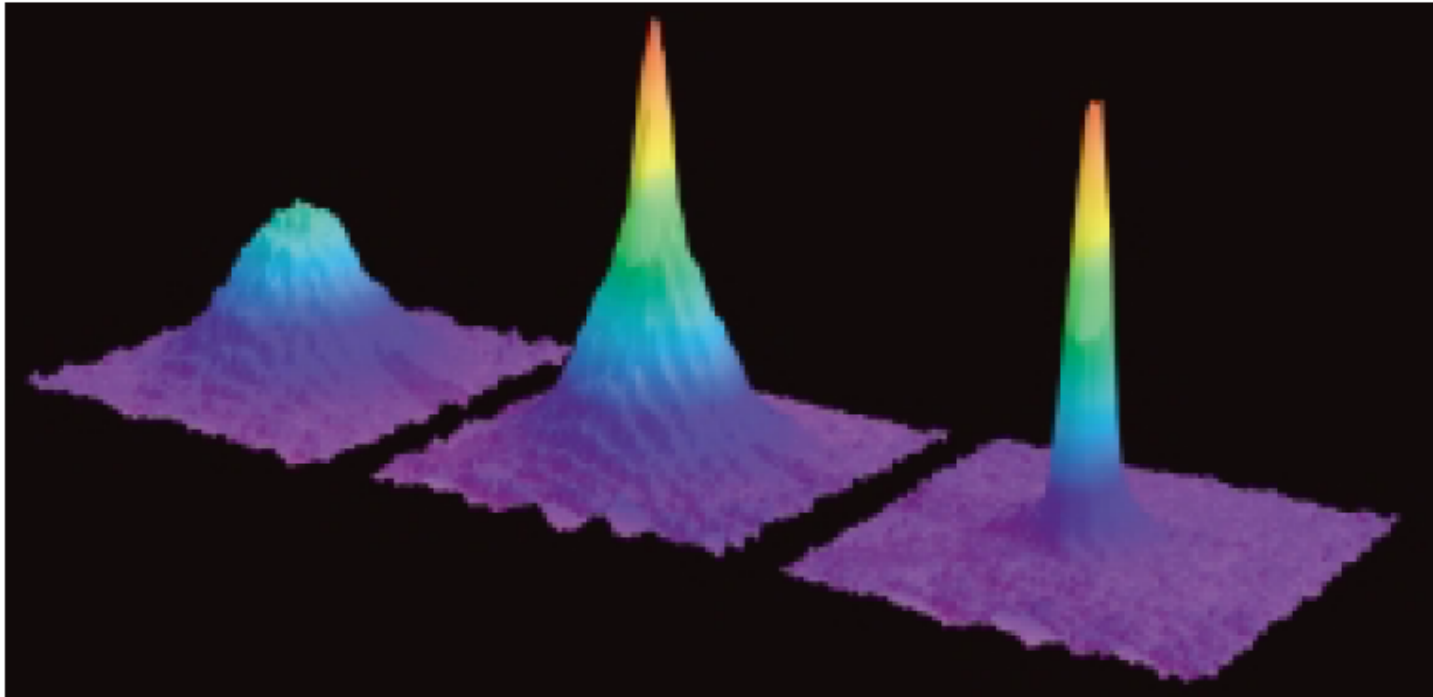


Figure 7. Comparison of the expansion of a BEC vs. two spatial dimensions. The left plot shows the BEC observed above the critical temperature, the middle plot shows the BEC observed just above the evaporative transition, and the right plot shows the BEC observed just below the evaporative transition.

## Kvalitativní vlastnosti:

- ♣ Gaussovy profily
- ♣ široké vs. úzké
- ♣ isotropní vs. anisotropní

observed by absorption imaging. Shown is absorption images of the BEC. The left plot shows the BEC observed just above the evaporative transition, the middle plot shows an expanding cloud cooled to just below the critical temperature where the condensate appeared; right: after further expansion. The total number of atoms at the phase transition point is  $2 \mu\text{K}$ .

# Kvantitativní vyhodnocení: vliv atomových interakcí

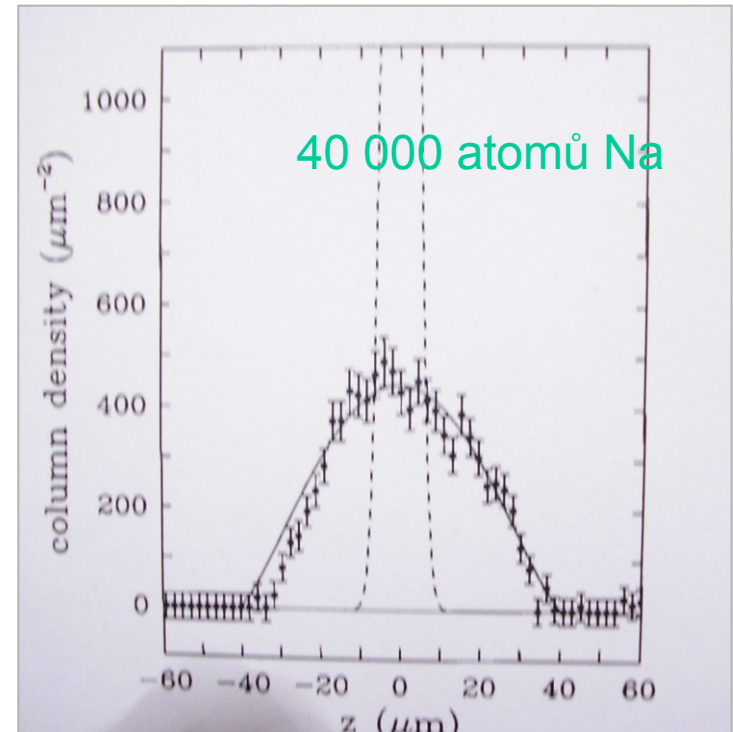
Oblak by se rozplýval jako kvantové klubko i bez meziatomových interakcí

Výsledek by pak odpovídal balistickému rozletování atomů jako klasických kuliček

Interakce jsou sice slabé, ale protože past drží atomy pohromadě, jejich účinek je značný,

jednak ještě za působení potenciálu pasti,

jednak v počátečních stadiích rozletu, kdy obláček je ještě hustý



## MAKROSKOPICKÁ VLNOVÁ FUNKCE KONDENSÁTU

bez interakcí by kondensát byl v základním stavu oscilátoru (čárkovaně - - - -)

Experiment ukazuje významné "nafouknutí" vnitřním tlakem; to je přesně reprodukováno řešením tzv. Gross-Pitaevského rovnice

## *Příklad výpočtu balistického rozletu*

Repulsivní interakce působí zpočátku silněji a atomy "předbíhají čas" proti čistě balistickému rozletu

Později je rozlet již zase lineární.

Výpočet byl ve shodě s experimentem pro vhodnou sílu interakce, která odpovídá nezávislým měřením atomových srážek.

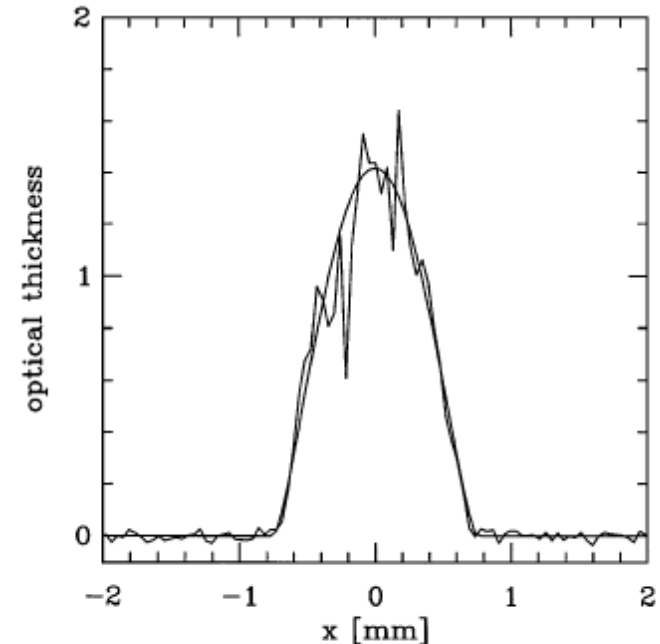
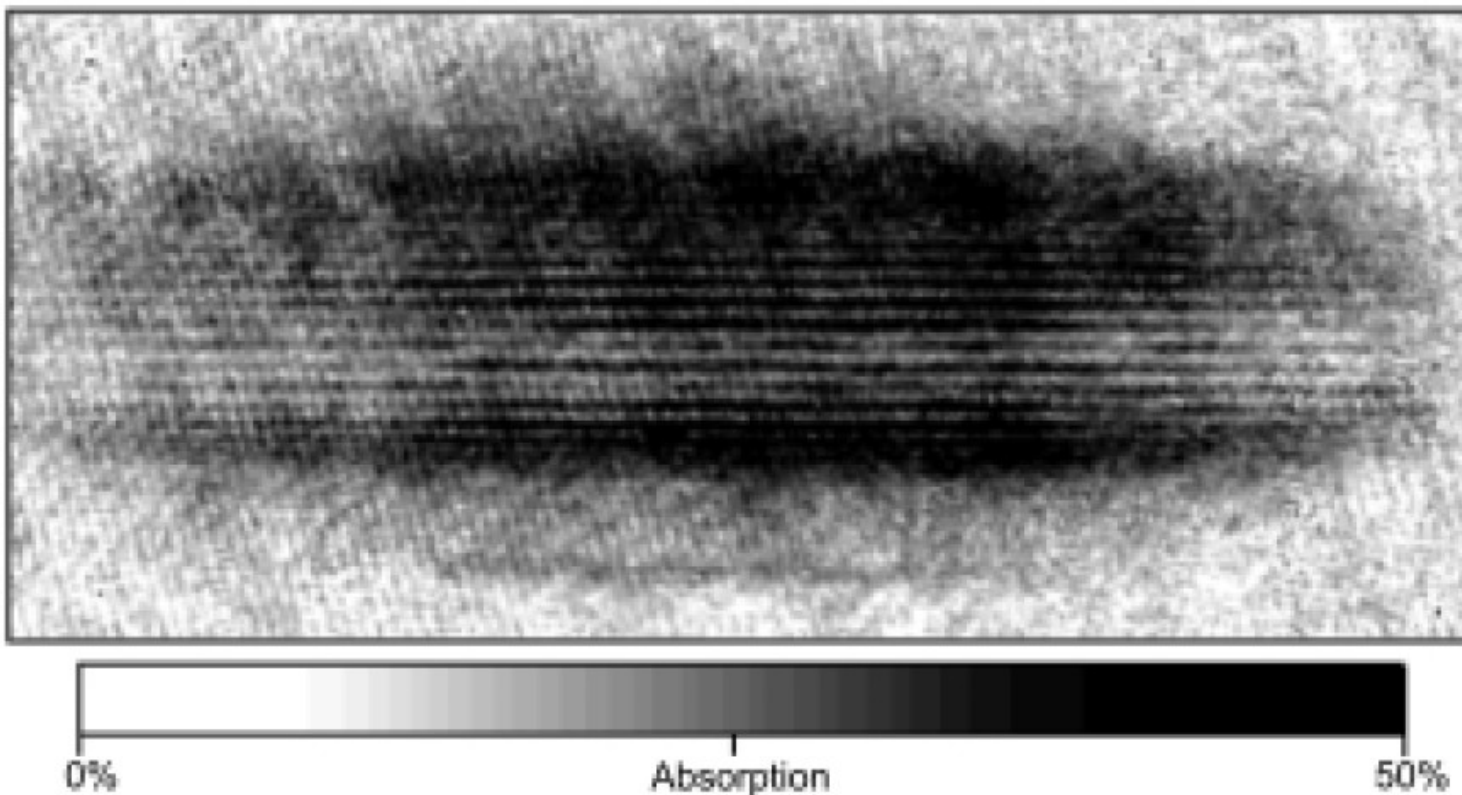


FIG. 1. Spatial density of an expanding condensate integrated along the  $y$  axis, cut along the  $x$  axis (that is, at  $z = 0$ ). Experimental data obtained at MIT (expansion time of 40 ms) and fit from theory.

Castin&Dum,  
PRL 77, 5315 (1996)

První přímý důkaz kvantové koherence  
atomárního BE kondensátu

## *Interference atomů*



Dva koherentní kondensáty se pronikají a interferují.  
Vertikální vzdálenost proužků je  $15\ \mu\text{m}$   
Vodorovný rozměr obláčku  $1,5\text{mm}$

# *Bose-Einsteinova kondensace atomů v pastech*

Atomy sodíku vytvářejí makroskopickou vlnovou funkci

Experimentální důkaz:

Dvě části obláčku rozdělené a opět se prolínající spolu interferují.

Vlnová délka v řádu desetin milimetru

*experiment ve skupině Ketterle a spol.*



vlny na vodě



# *Bose-Einsteinova kondensace atomů v pastech*

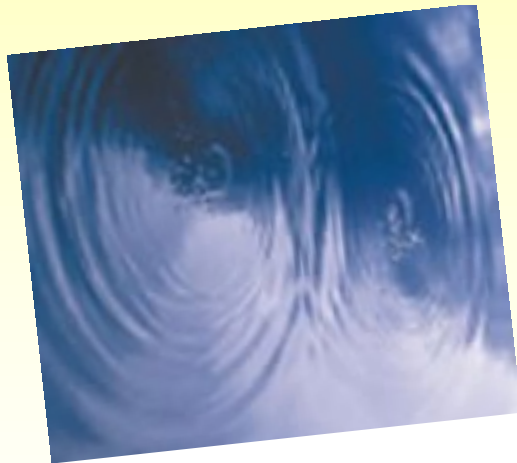
Atomy sodíku vytvářejí makroskopickou vlnovou funkci

Experimentální důkaz:

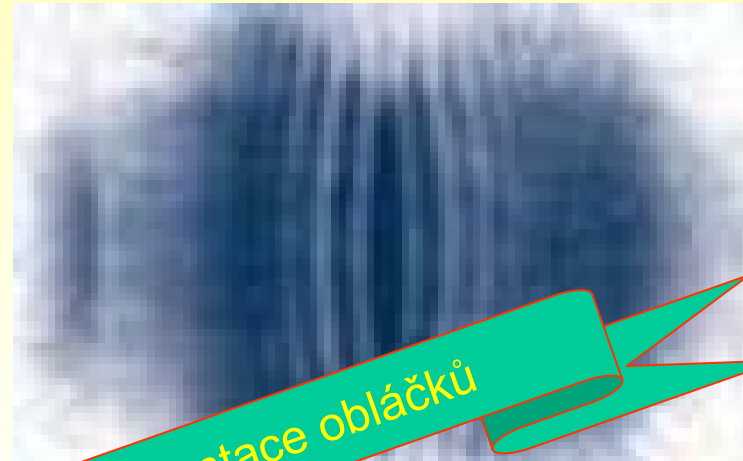
Dvě části obláčku rozdělené a opět se prolínající spolu interferují.

Vlnová délka v řádu desetin milimetru

*experiment ve skupině Ketterle a spol.*



vlny na vodě



skutečná orientace obláčků



# *Bose-Einsteinova kondensace atomů v pastech*

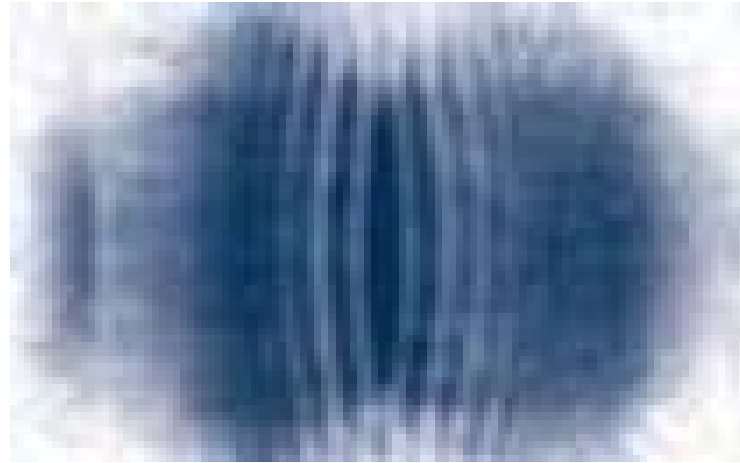
Atomy sodíku vytvářejí makroskopickou vlnovou funkci

Experimentální důkaz:

Dvě části obláčku rozdelené a opět se prolínající spolu interferují.

Vlnová délka v řádu desetin milimetru

*experiment ve skupině Ketterle a spol.*



# *Bose-Einsteinova kondensace atomů v pastech*

Atomy sodíku vytvářejí makroskopickou vlnovou funkci

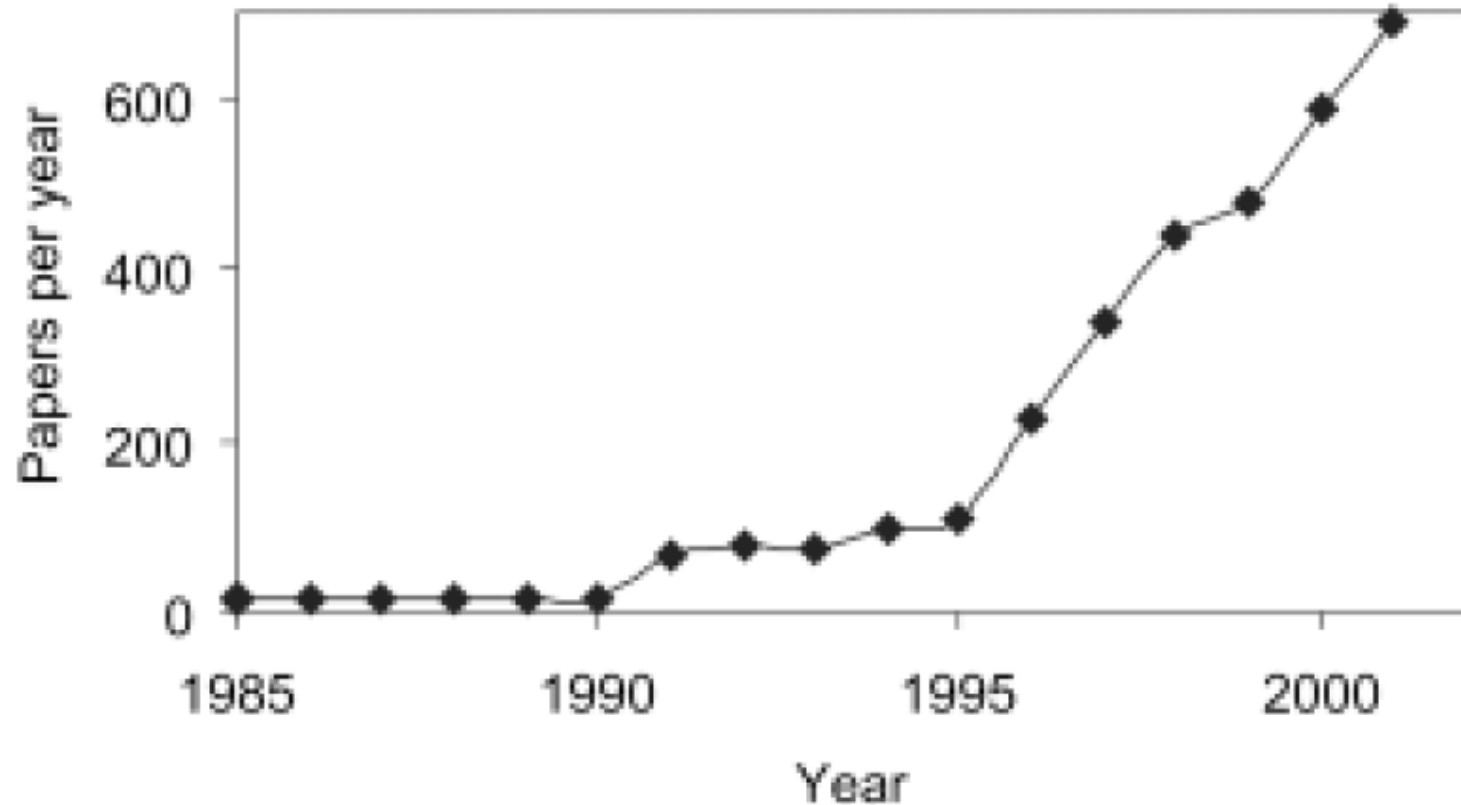
Experimentální důkaz:

Dvě části obláčku rozdělené a opět se prolínající spolu interferují.

Vlnová délka v řádu desetin milimetru

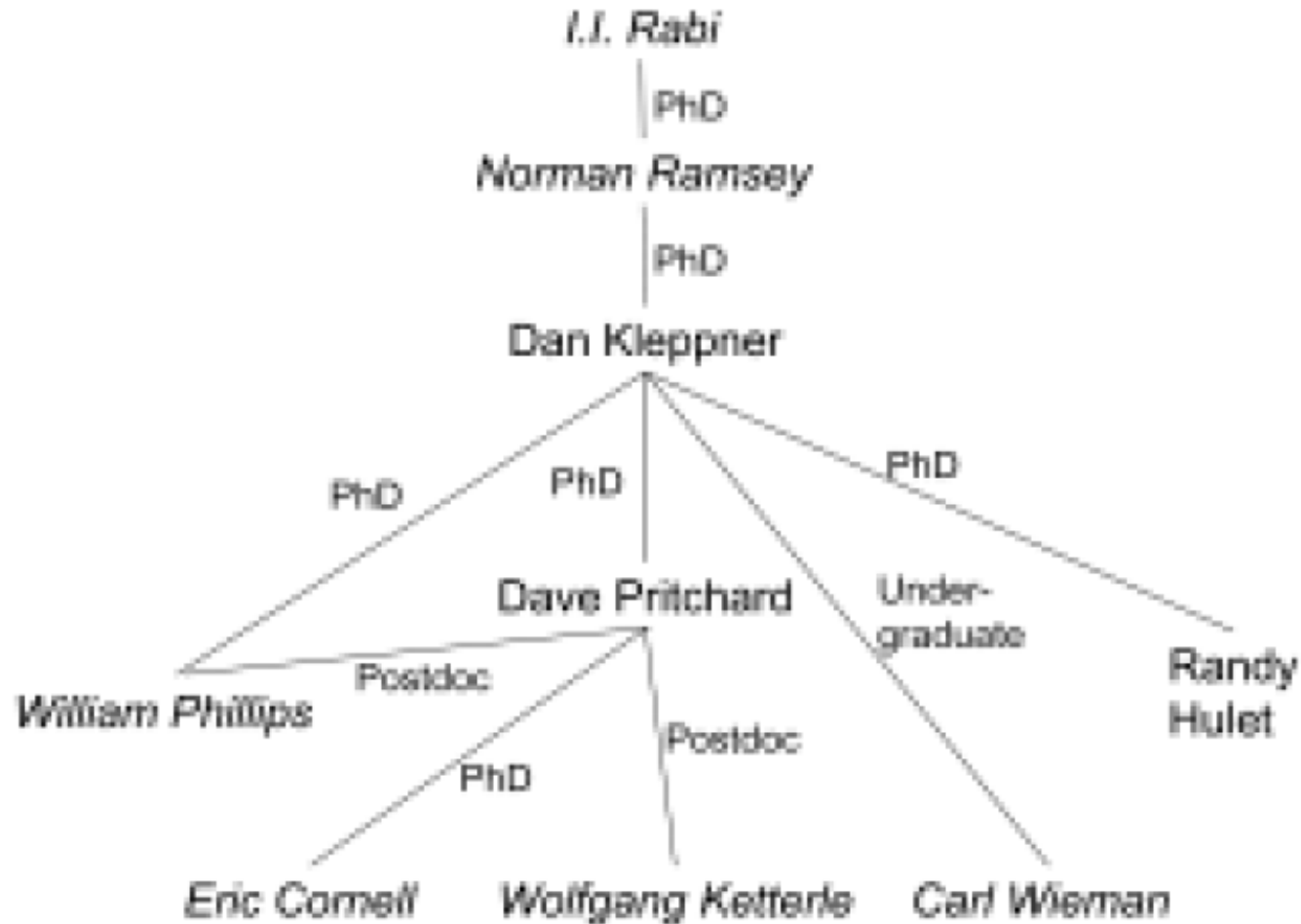
*experiment ve skupině Ketterle a spol.*

*Boom BEC, teď ještě mnohem živější*



*Figure 1.* Annual number of published papers, which have the words “Bose” and “Einstein” in their title, abstracts or keywords. The data were obtained by searching the ISI (Institute for Scientific Information) database.

*Strom nobelistů (kursivou) v atomové fyzice*



*The end*